

# Standard model, Higgs

山口 洋平

東京工業大学

2017年4月7日

テラスケール研究会2017 @ 東京大学

# Standard model

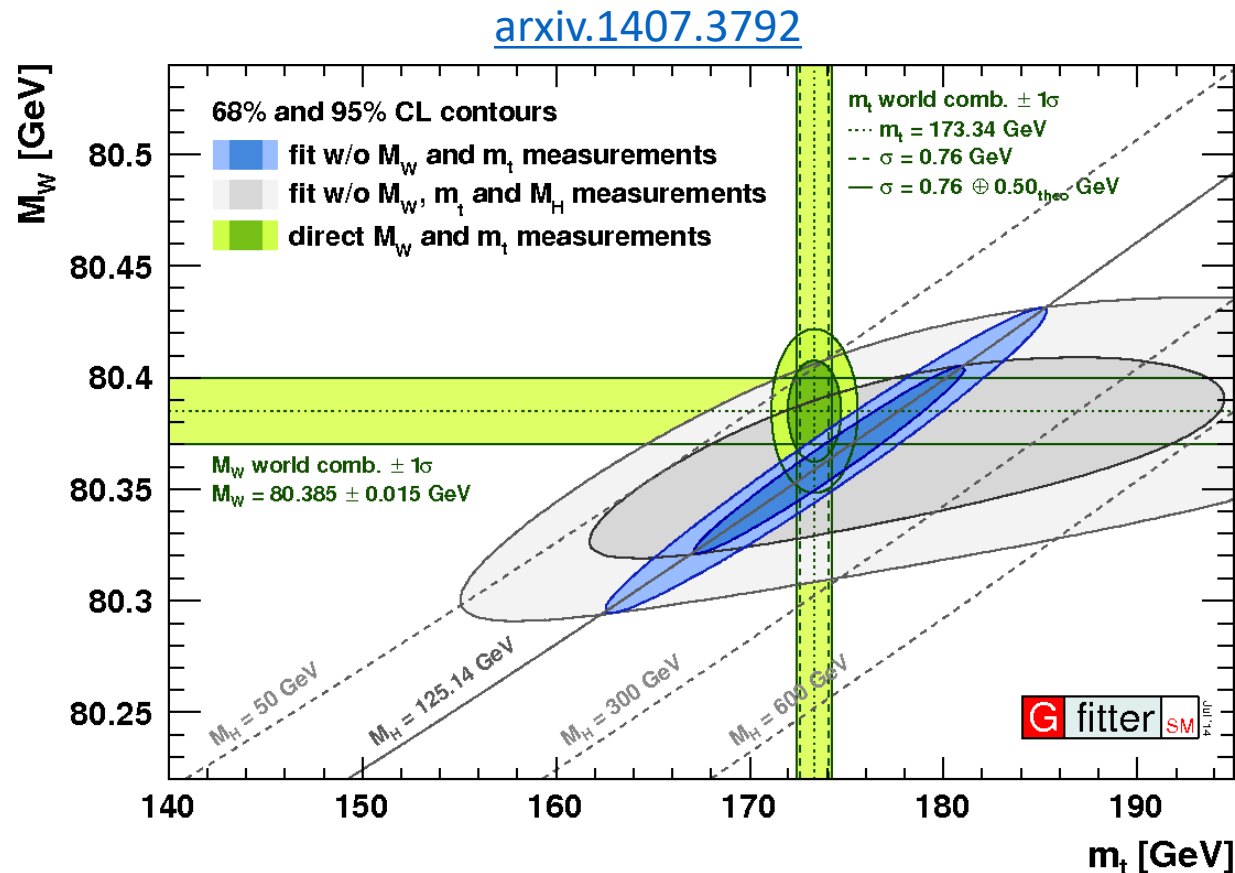
# W mass

- 標準理論の内部整合性の検証
- 既にW mass測定精度がボトルネック

- LHCで？
  - Tevatronに比べてsea-クォークの重要度が増す
  - s-, c-quarkがproductionの25%に寄与
  - challenging!!

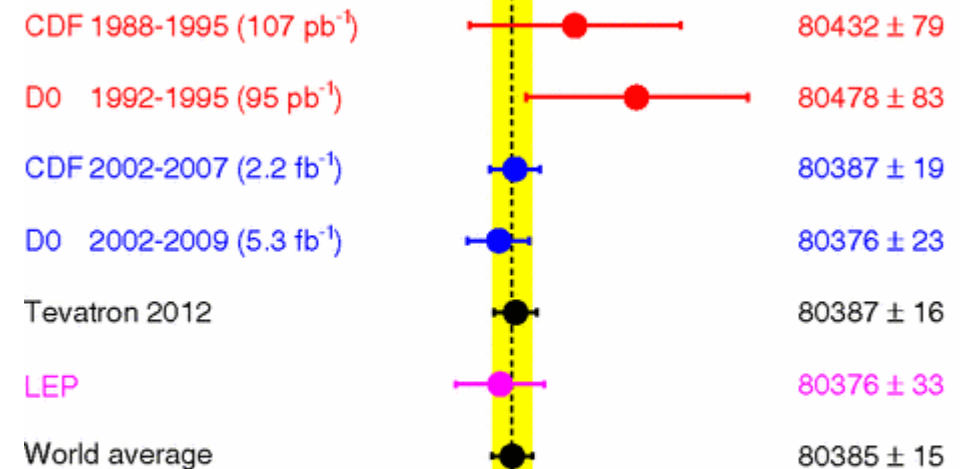
[Phys. Rev. D 88 \(2013\) 052018](https://arxiv.org/abs/1305.2018)

Mass of the W Boson



Measurement

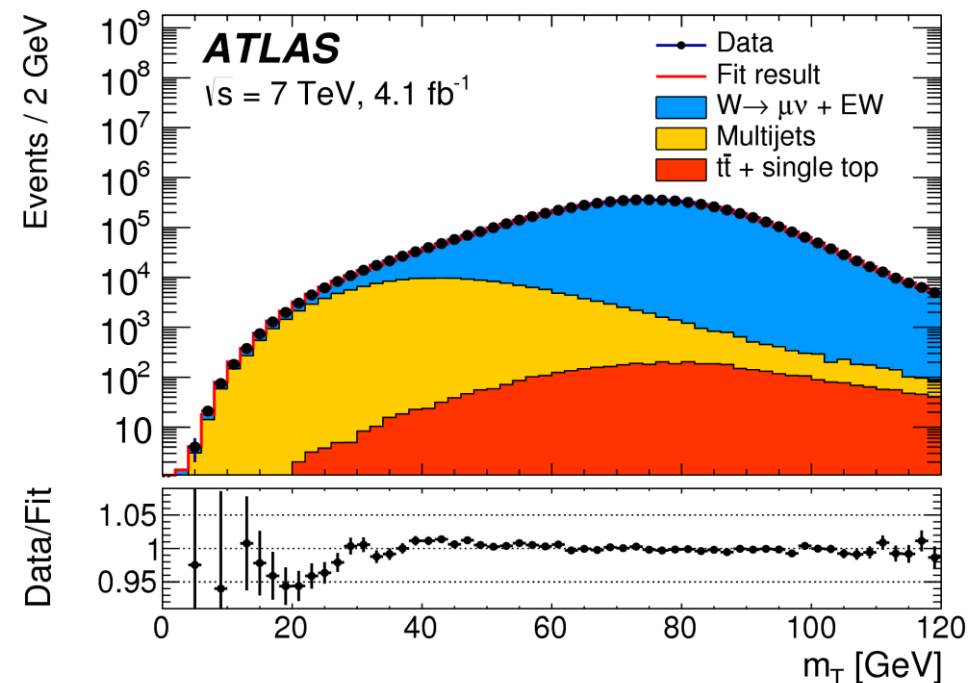
$M_W$  [MeV]





# W mass

- 7 TeV 4.6 fb<sup>-1</sup> (muon channelは4.1 fb<sup>-1</sup>) を使用
  - Event selection
    - recoil  $u_T < 30$  GeV
      - $u_T$ : vector sum of the  $E_T$  of all calorimeter clusters
      - $W$ がboostしているときのmodel uncertaintyを減らす
    - MET > 30 GeV
    - transverse mass  $m_T^W > 60$  GeV
- } QCD除去
- main BG:  $Z \rightarrow \ell\ell$  (~5 %)
  - QCD BGはtemplate methodで見積もり
    - MET,  $m_T^W$  の要求をlooseにした領域を使用
    - 数は少ないが系統誤差大



# W mass

$$m_W = 80370 \pm 7 \text{ (stat.)} \pm 11 \text{ (exp. syst.)} \pm 14 \text{ (mod. syst.) MeV}$$

$$= 80370 \pm 19 \text{ MeV}$$

lepton calibration uncertainty

QCD BG

Fixed-order PDF uncertainty

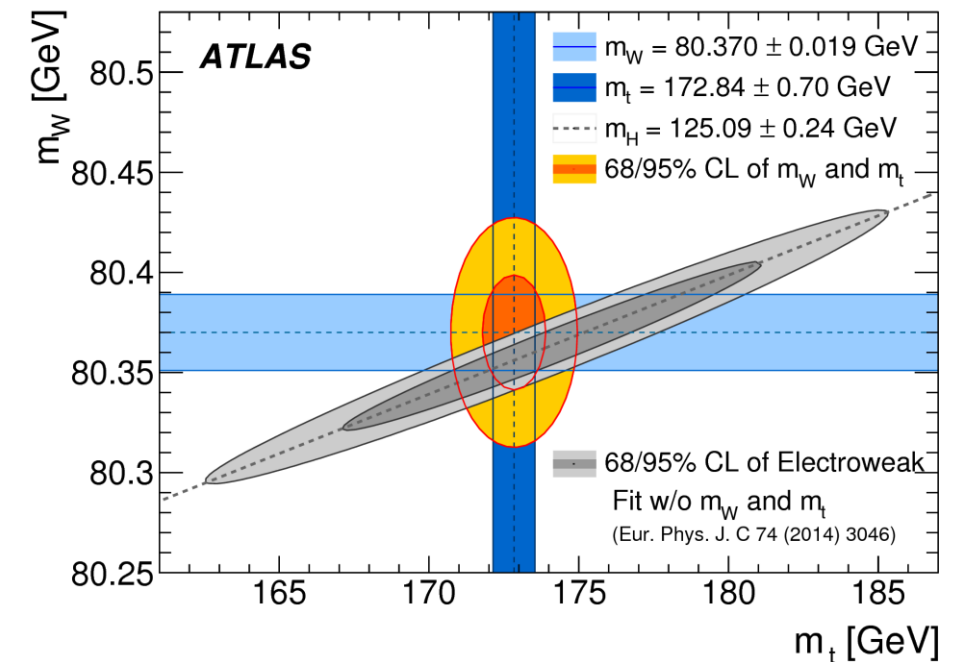
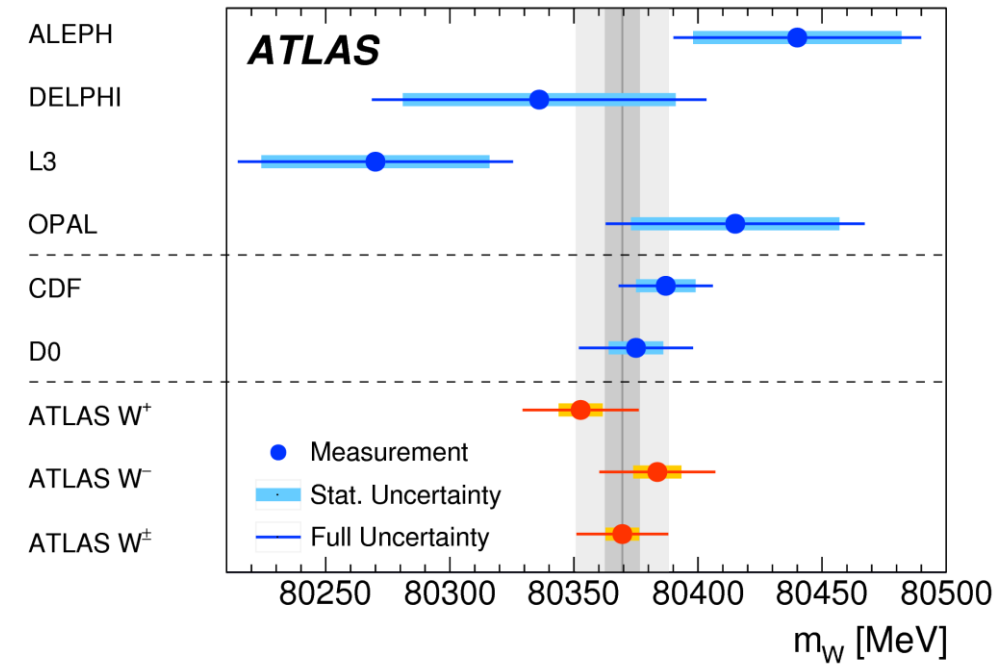
• Tevatronと同程度の精度！

• topとHiggs massの測定結果を使うとW massの予測値は

•  $m_W^{\text{Fit}} = 80356 \pm 8 \text{ MeV}$

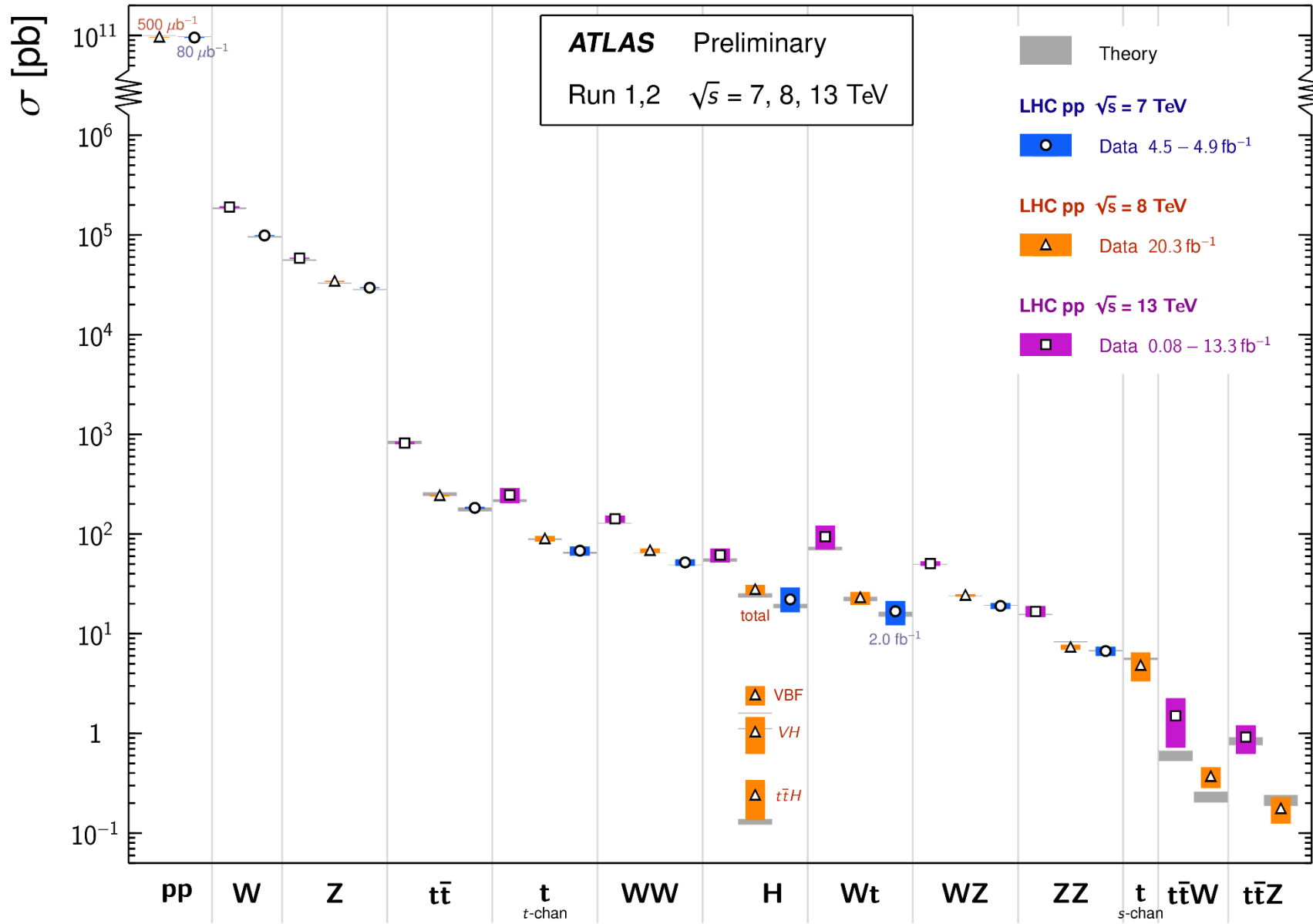
•  $(m_t = 172.84 \pm 0.70 \text{ GeV}, m_H = 125.09 \pm 0.24 \text{ GeV})$

• 標準理論は整合性が取れている...



# Cross section measurement

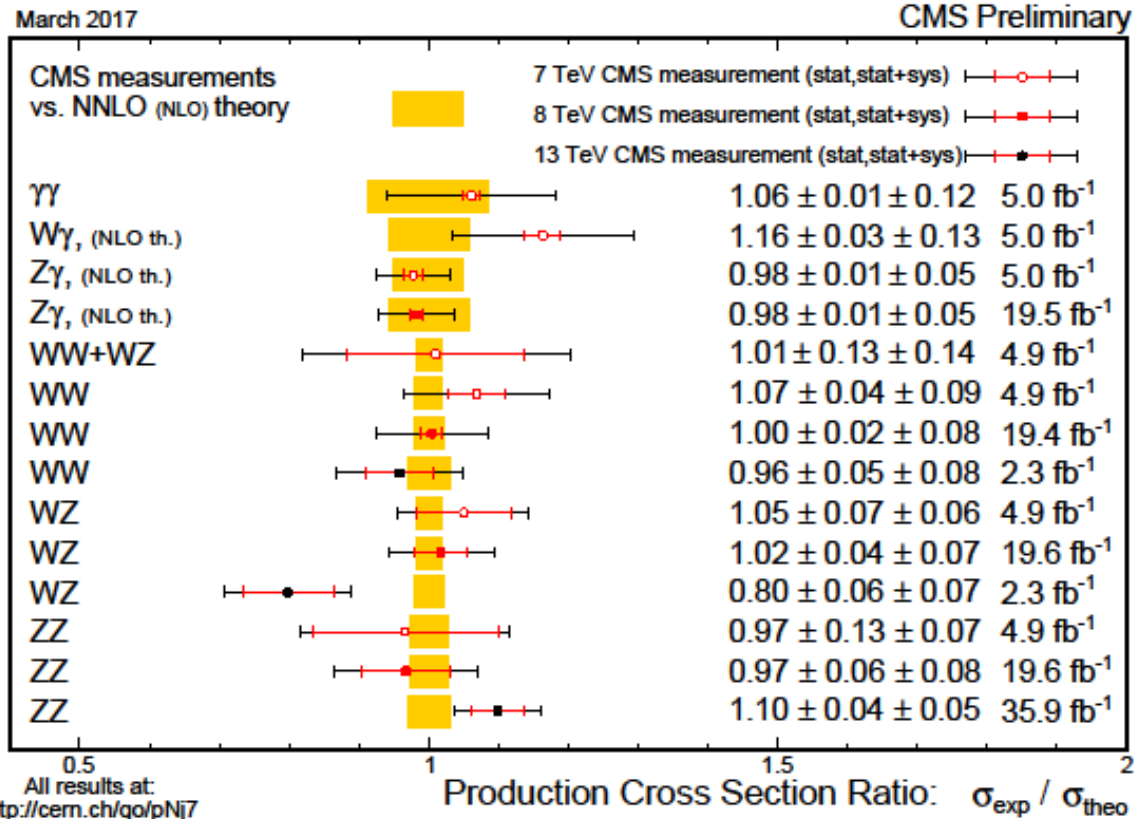
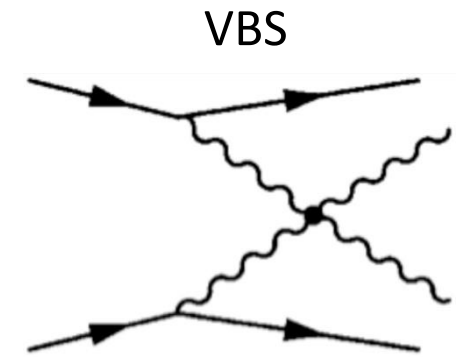
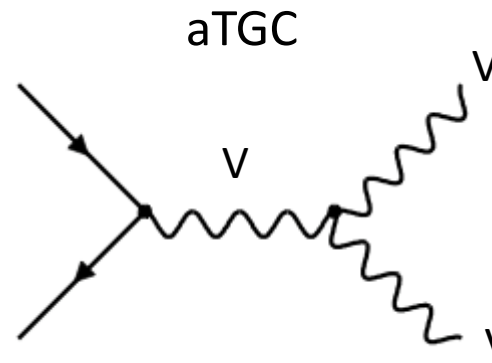
Standard Model Total Production Cross Section Measurements Status: March 2017



標準理論の威力...

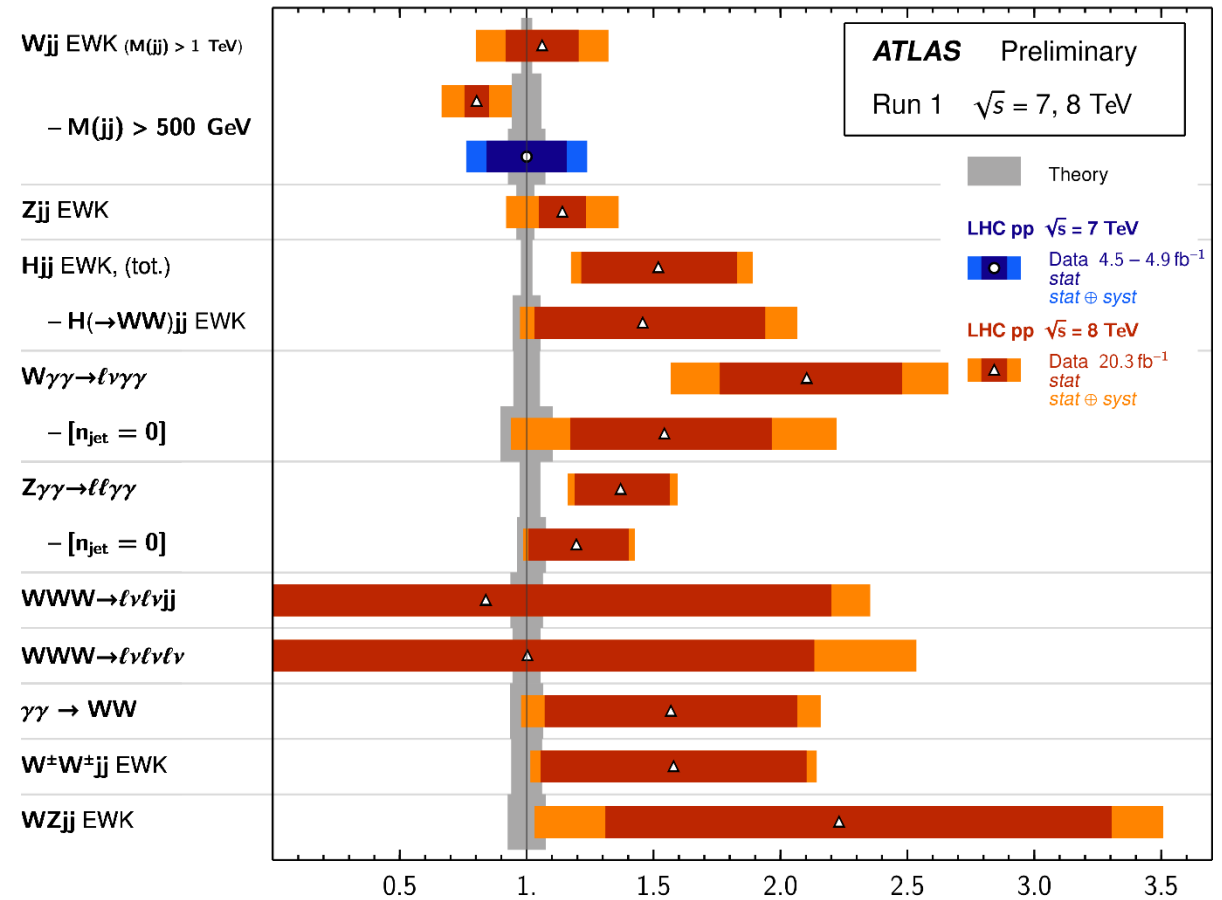
# Multi-boson

- anomalous Triple(Quartic) Gauge Couplings (aTGC, aQGC)
- Vector Boson Scattering (VBS)

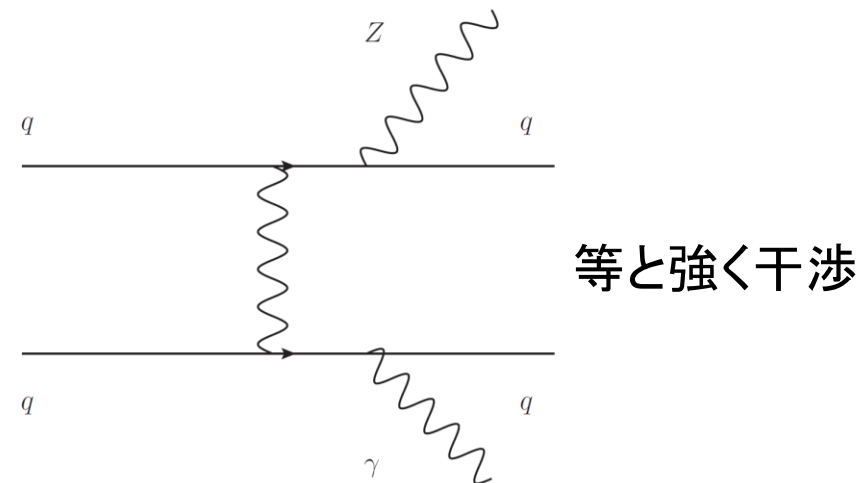
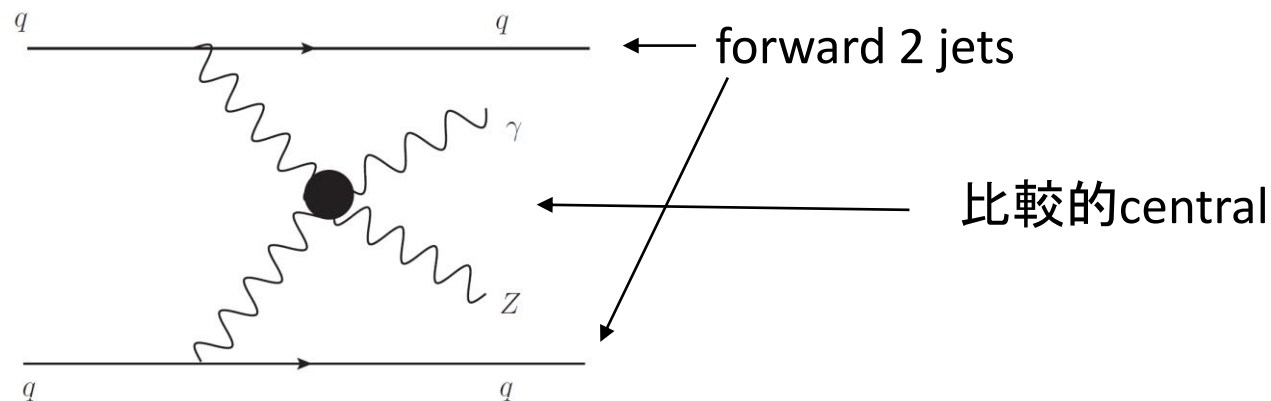


## VBF, VBS, and Triboson Cross Section Measurements

Status: March 2017



# VBS $Z\gamma$ at 8 TeV



- $Z \rightarrow \ell\ell$  channel
  - $m_{Z\gamma} > 182$  GeV
  - $m_{jj} > 500$  GeV
  - centrality observable  $\zeta$ 
    - 2 forward jetsに対してどれだけcentralか

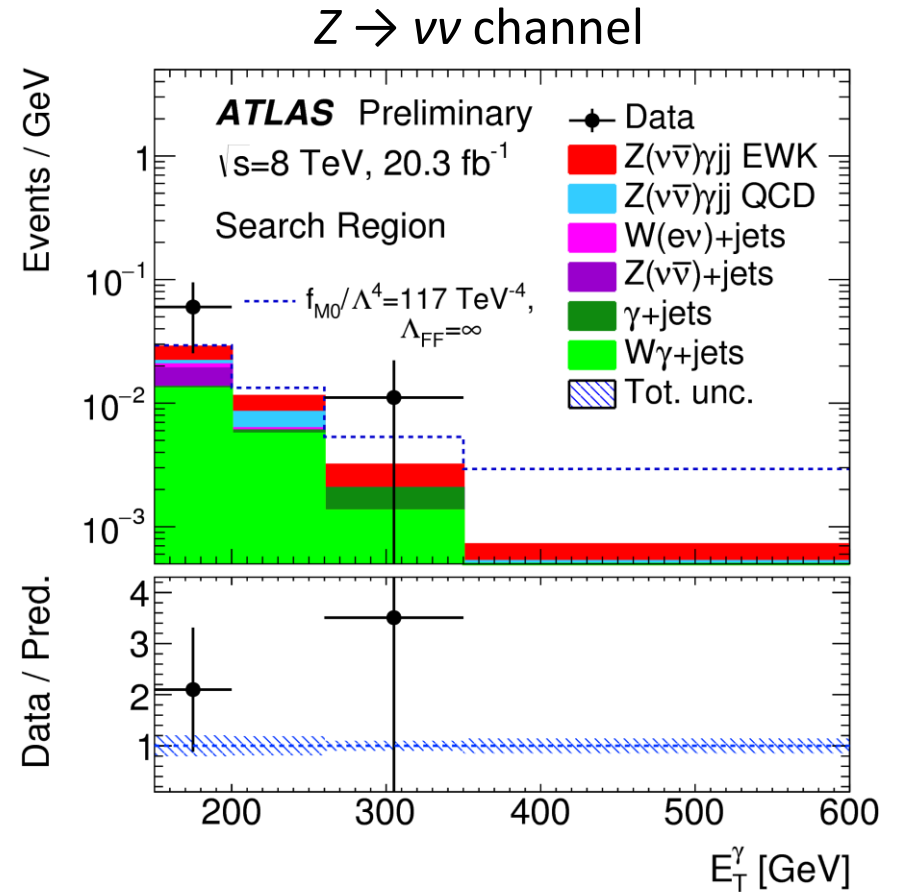
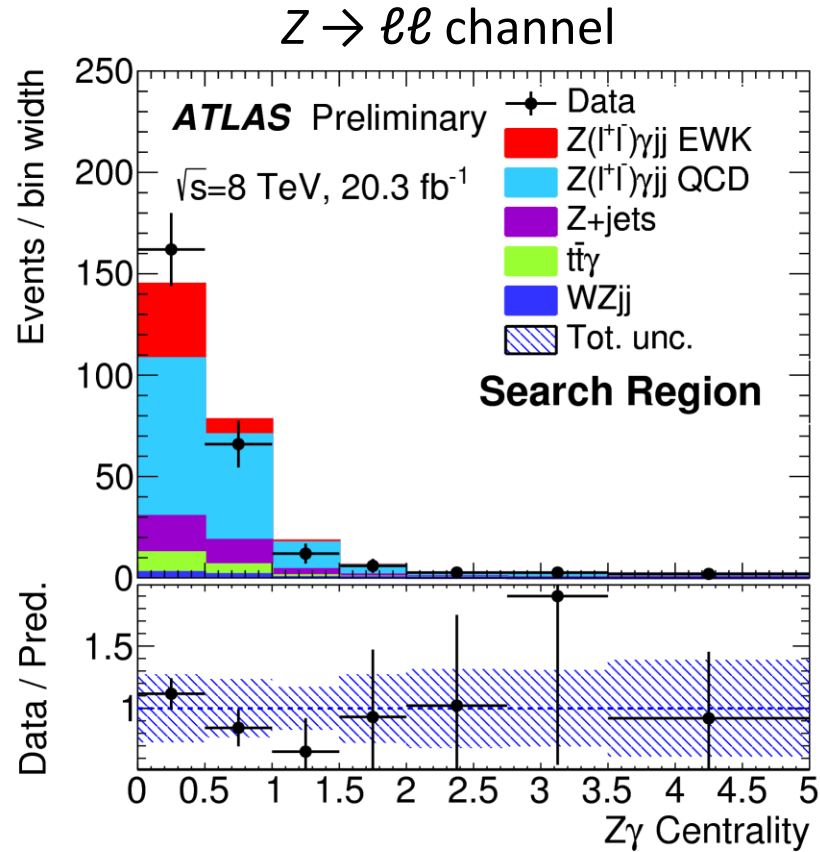
$$\zeta_{Z\gamma} \equiv \left| \frac{\eta_{Z\gamma} - \bar{\eta}_{jj}}{\Delta\eta_{jj}} \right|$$

$$\bar{\eta}_{jj} = \frac{\eta_{j1} + \eta_{j2}}{2}$$

$$\Delta\eta_{jj} = \eta_{j1} - \eta_{j2}$$

- $Z \rightarrow \nu\nu$  channel
  - $m_{jj} > 600$  GeV
  - MET > 100 GeV
  - angular selection,  $\nu\bar{\nu}\gamma jj$  の  $p_T$ -balance,  $\gamma$  の centralityを要求
  - $E_T^\gamma > 150$  GeV
  - aQGC用

# VBS $Z\gamma$ at 8 TeV



- EWK課程での $Z\gamma jj$  cross section

$$\sigma_{Z\gamma jj}^{EWK} = 1.1 \pm 0.5 \text{ (stat.)} \pm 0.4 \text{ (syst.) fb}$$

$$\sigma_{Z\gamma jj}^{VBFNLO,EWK} = 0.94 \pm 0.09 \text{ (theo.) fb}$$

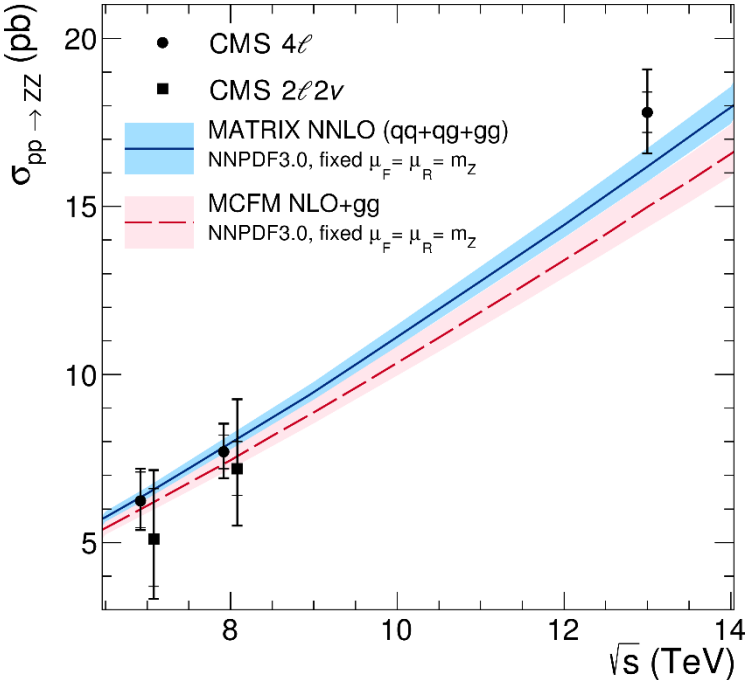
aQGC見えず

# ZZ at 13 TeV

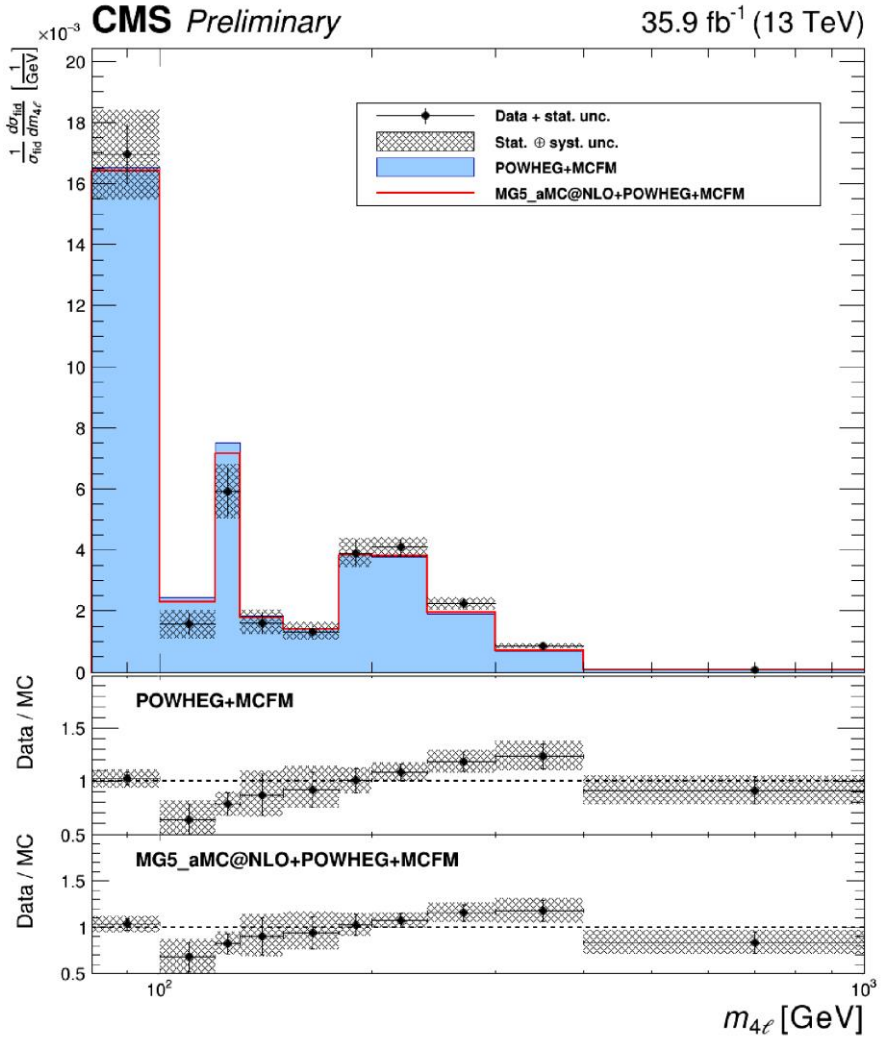
- ZZ → 4ℓ

differential cross section

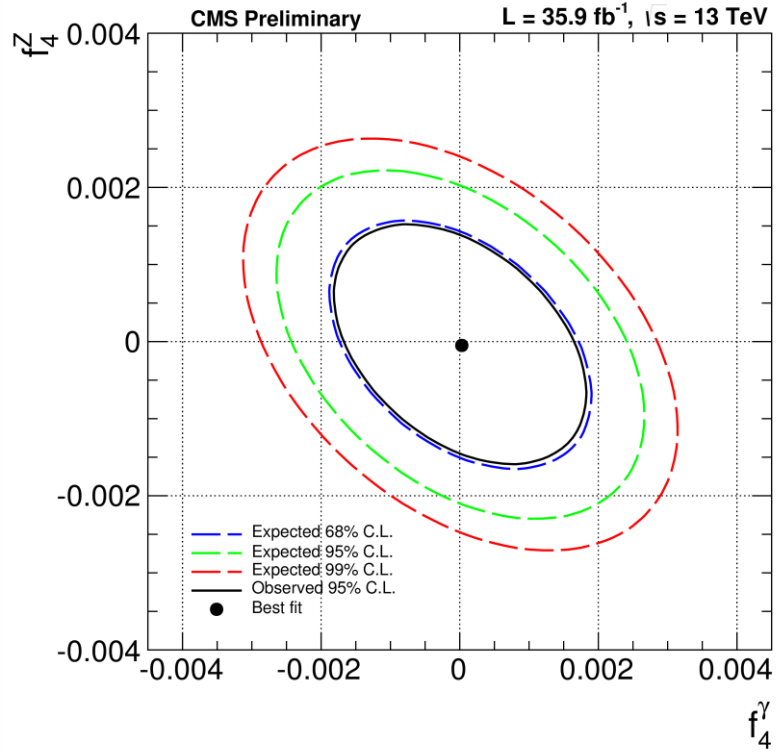
total cross section



NNLOとよく一致



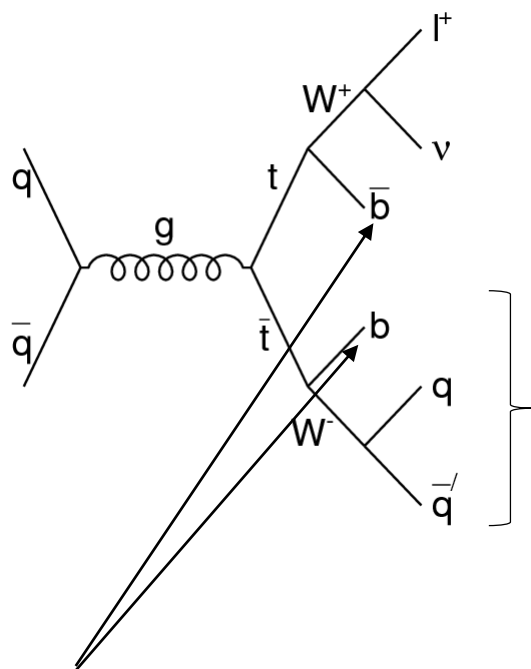
high  $m_{ZZ}$  eventからaTGCにlimit



# Top mass

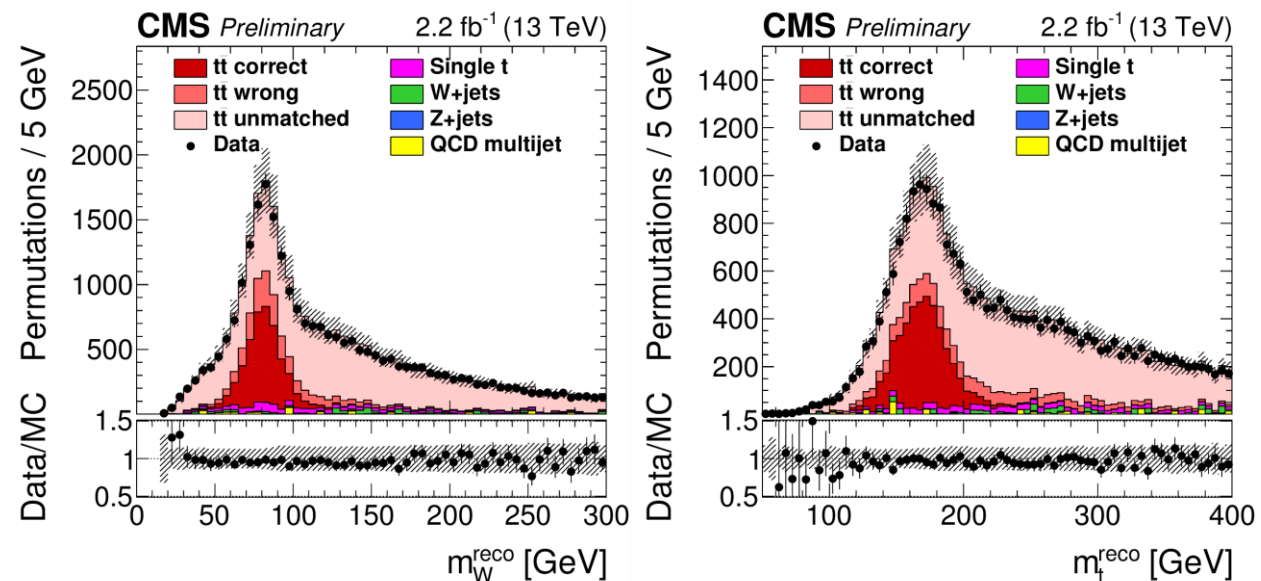
muon + 4 jets with CMS

- direct measurement (not pole mass)
- $2.2 \text{ fb}^{-1}$  at 13 TeV



これらでmassを組む

b-jetの候補は2つあるので、どちらも試す  
(どちらもhistogramにfillする)

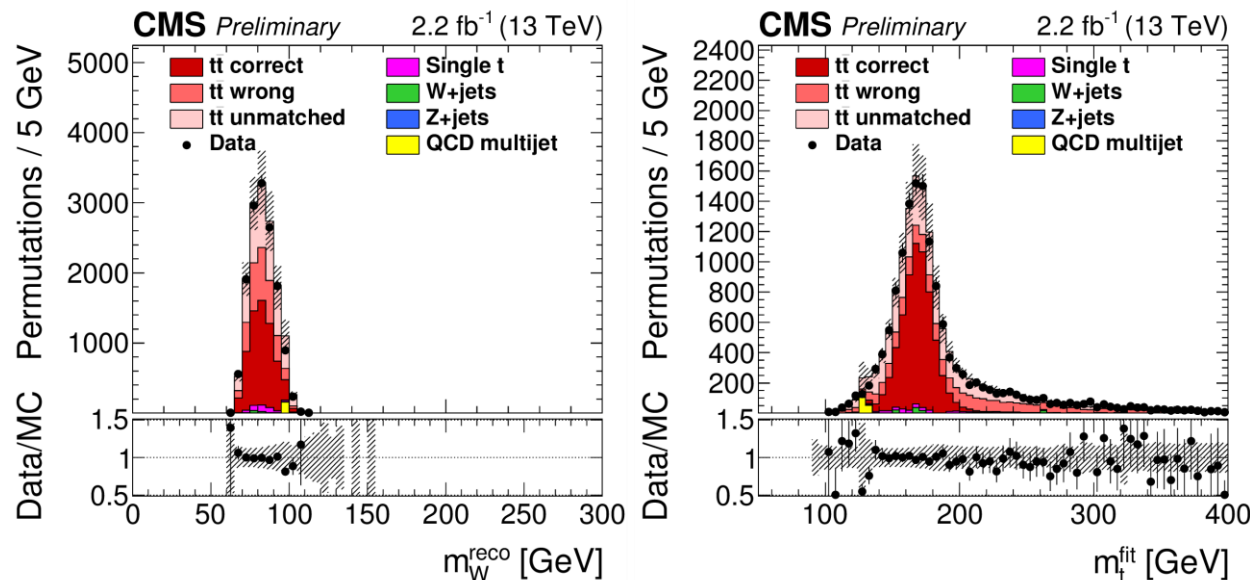


correct: 正しいb-jetの組み合わせ  
 wrong: 誤った組み合わせ  
 unmatched: truth quarkとmatchしない

# Top mass

## kinematic fit

- ttbarらしさを $\chi^2$ で計算
  - inputは終状態粒子のmomentum (METを含む)
  - ただし、momentumはuncertaintyの範囲内で動かせる
  - Wのmass等の束縛条件を加えてfit
- ⇒
- $\chi^2$ でttbarとBGが分離
  - 終状態粒子のmomentum resolution向上
- $\chi^2$ が小さいことを要求
  - $-\frac{1}{2}\chi^2$ を各イベント、b-jetの組み合わせに重みとしてかける



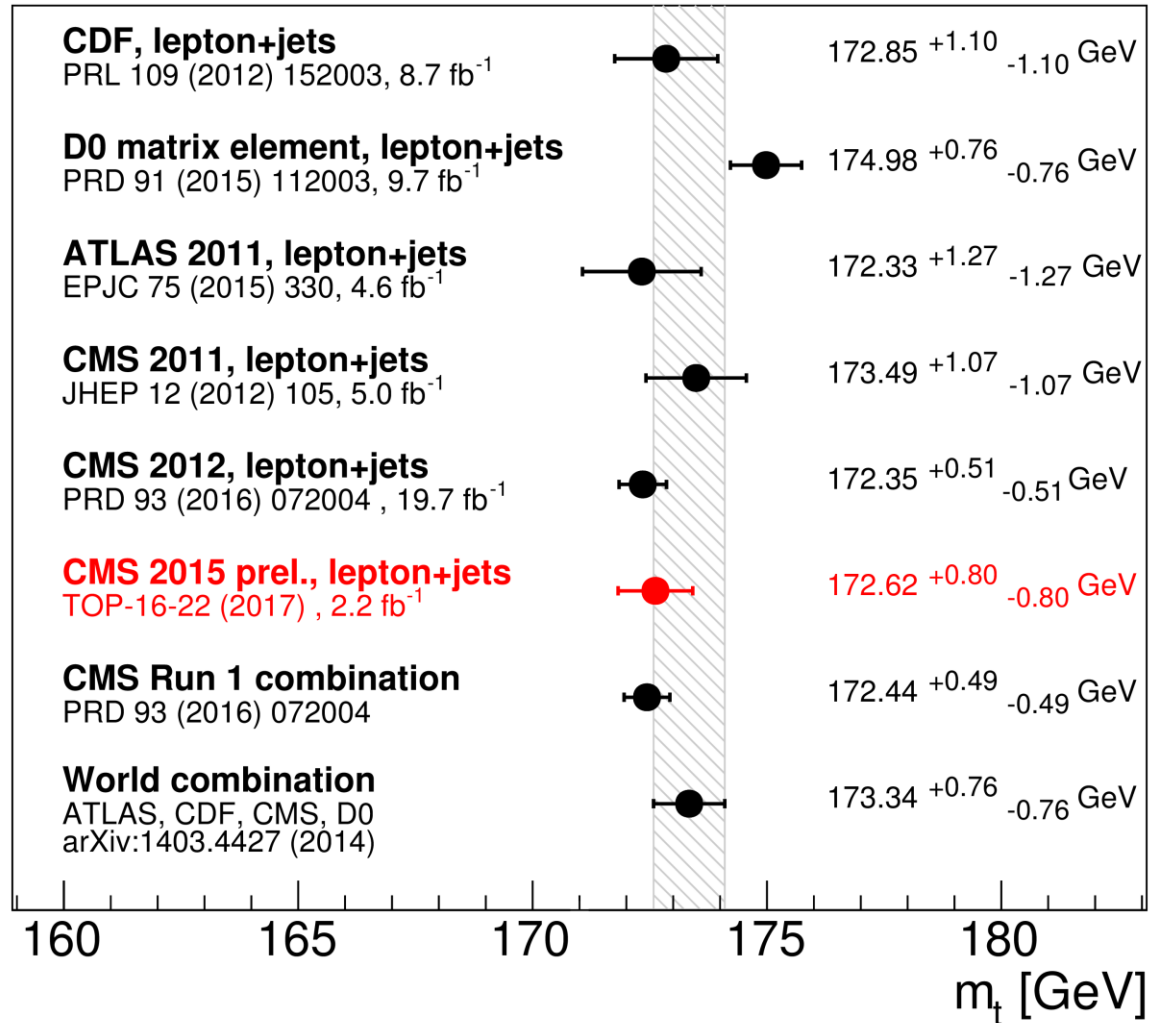
- 最終的に $m_W$ と $m_t$ を同時にfitしてjet energy scaleとtop massを同時に決定

$$m_{top} = 172.62 \pm 0.38 \text{ (stat.)} \pm 0.70 \text{ (syst.) [GeV]}$$

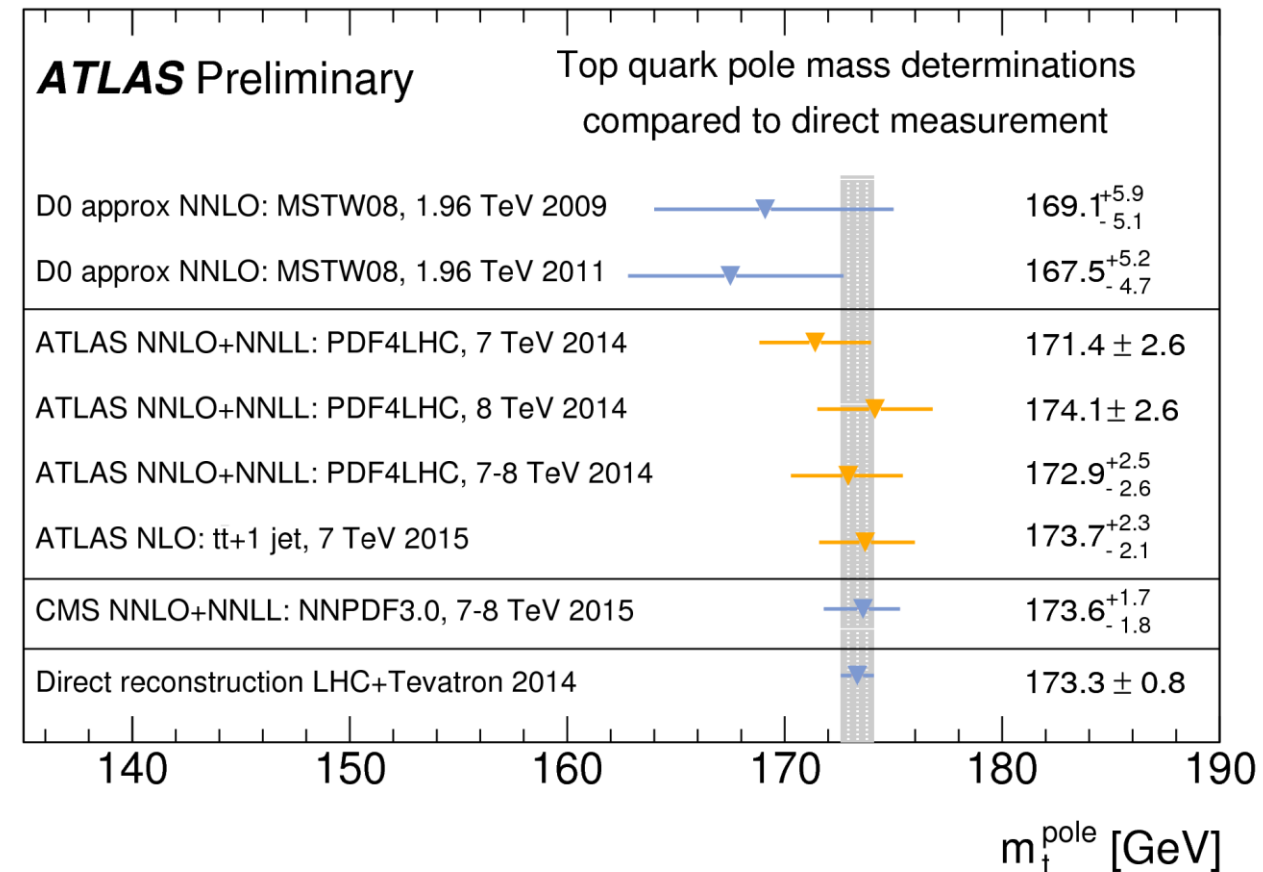
- b-jet energy scaleが系統誤差に効いている
- 最も感度の高い解析の一つ

# Top mass

## direct top mass measurement



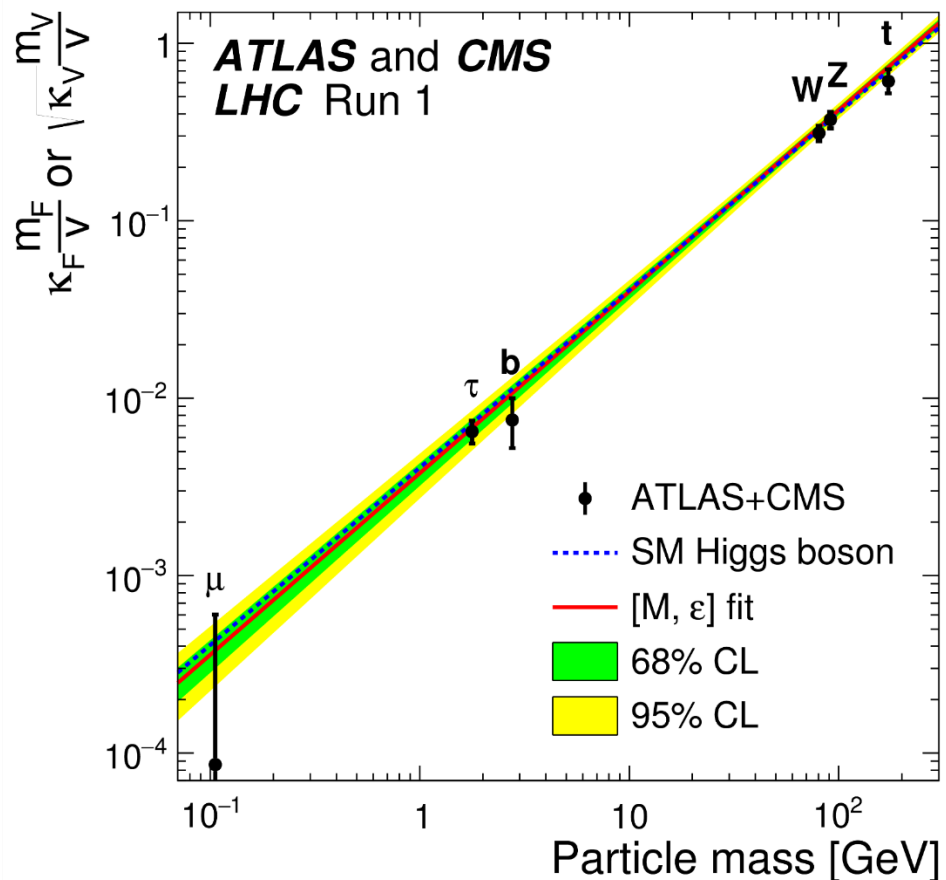
## top quark pole mass measurement



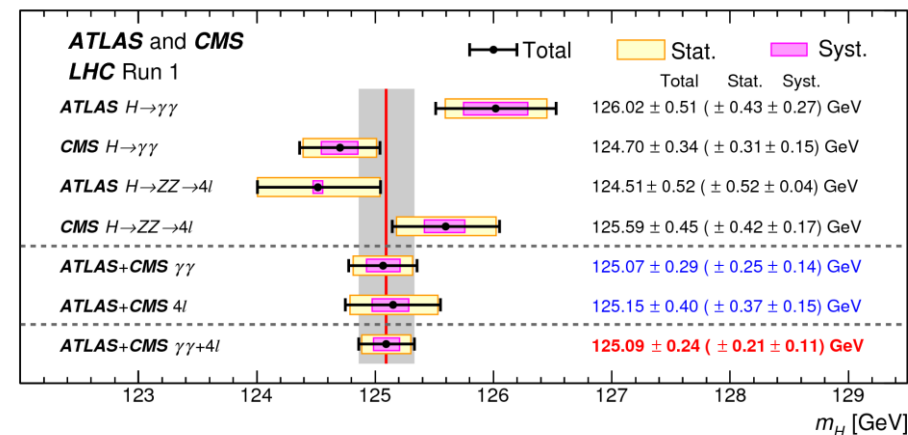
Higgs

# これまでの状況: Run1

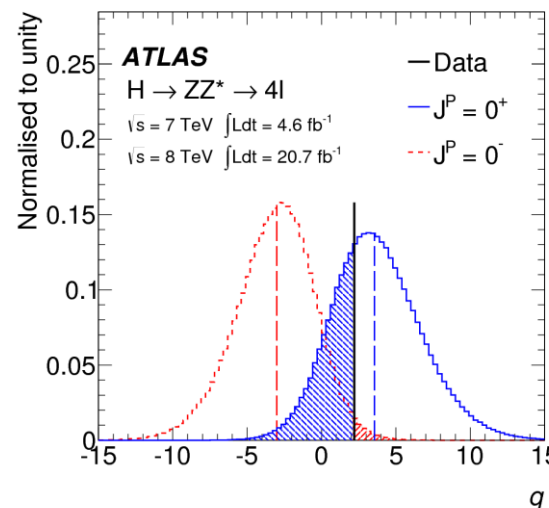
2012年 発見 → 性質測定



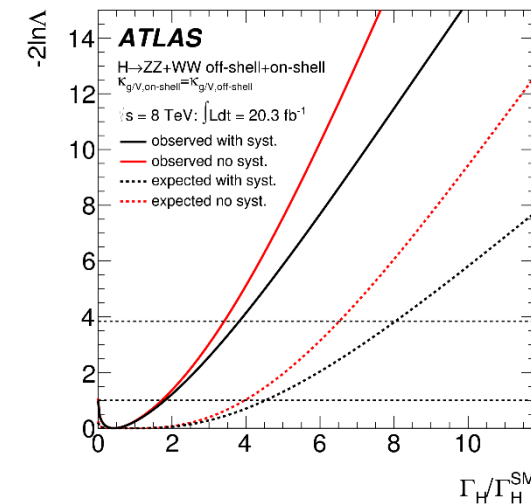
$\gamma\gamma, ZZ, WW, \tau\tau$  decayモードで発見



$m_H = 125.09 \pm 0.24$  GeV

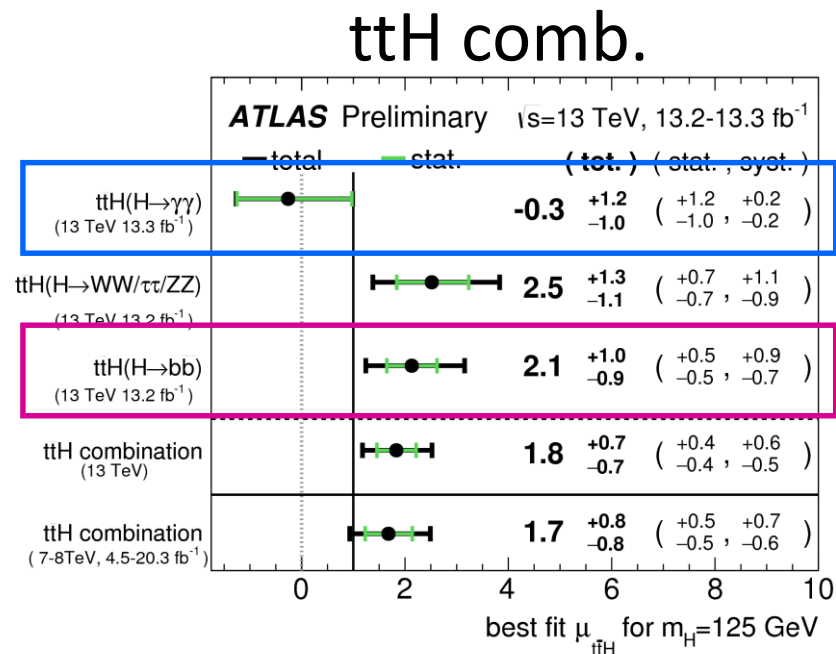
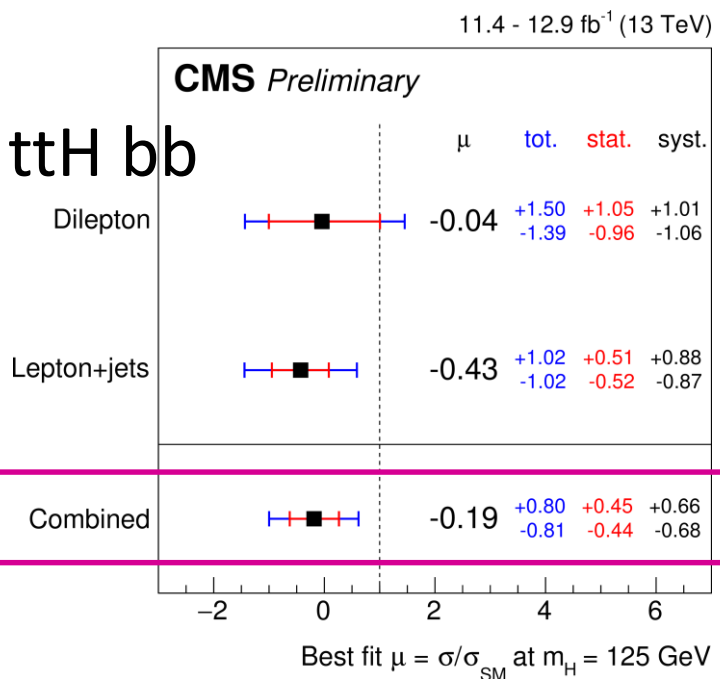


$J^{CP} = 0^{++}$

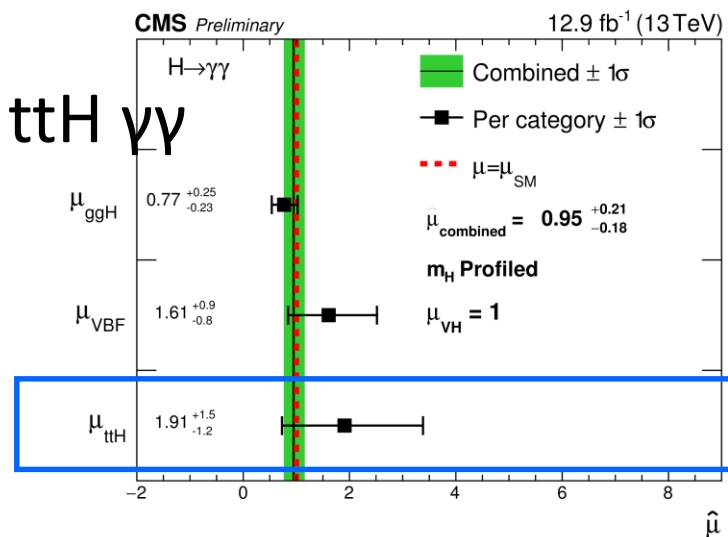


$\Gamma_H / \Gamma_H^{SM} < \sim 4$

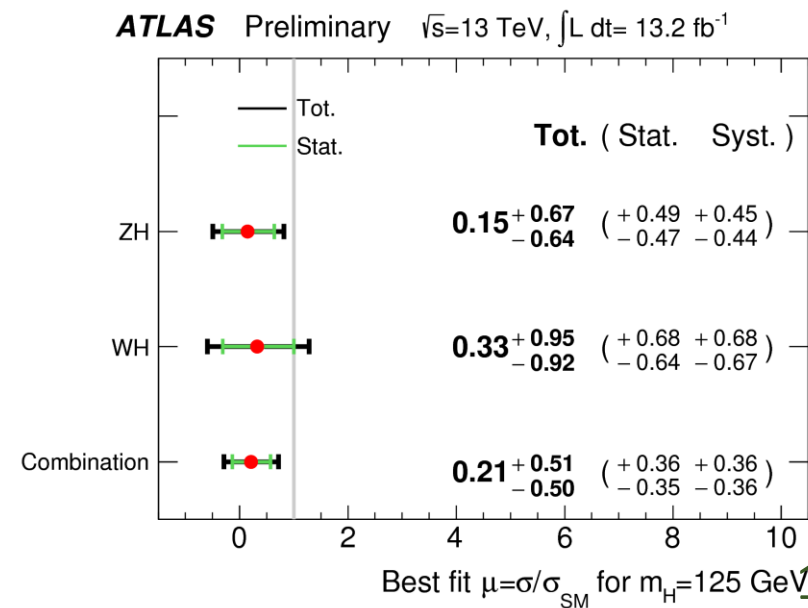
# これまでの状況: Run2でのtop, bottom湯川



VH(bb) 探索  
 $\mu < 1$ に振れている  
 Run1と同じ傾向 (ATLAS)



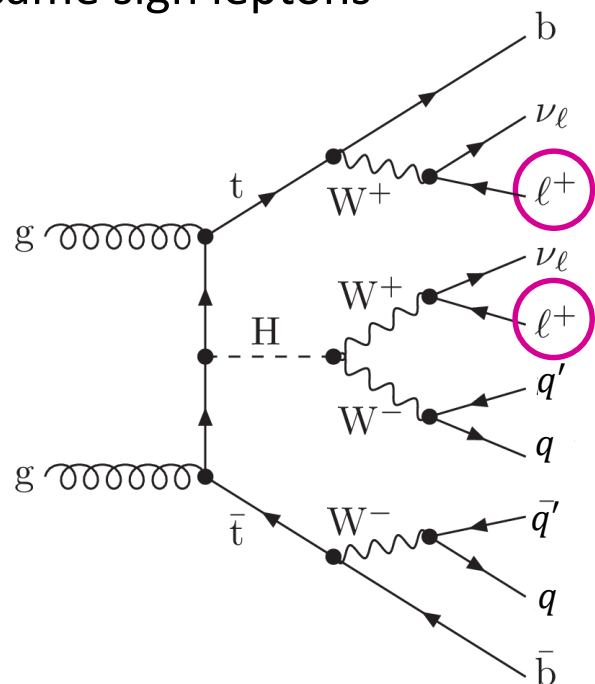
ttH探索  
 CMSとATLASで逆向きに振れている  
 combineすると~1??



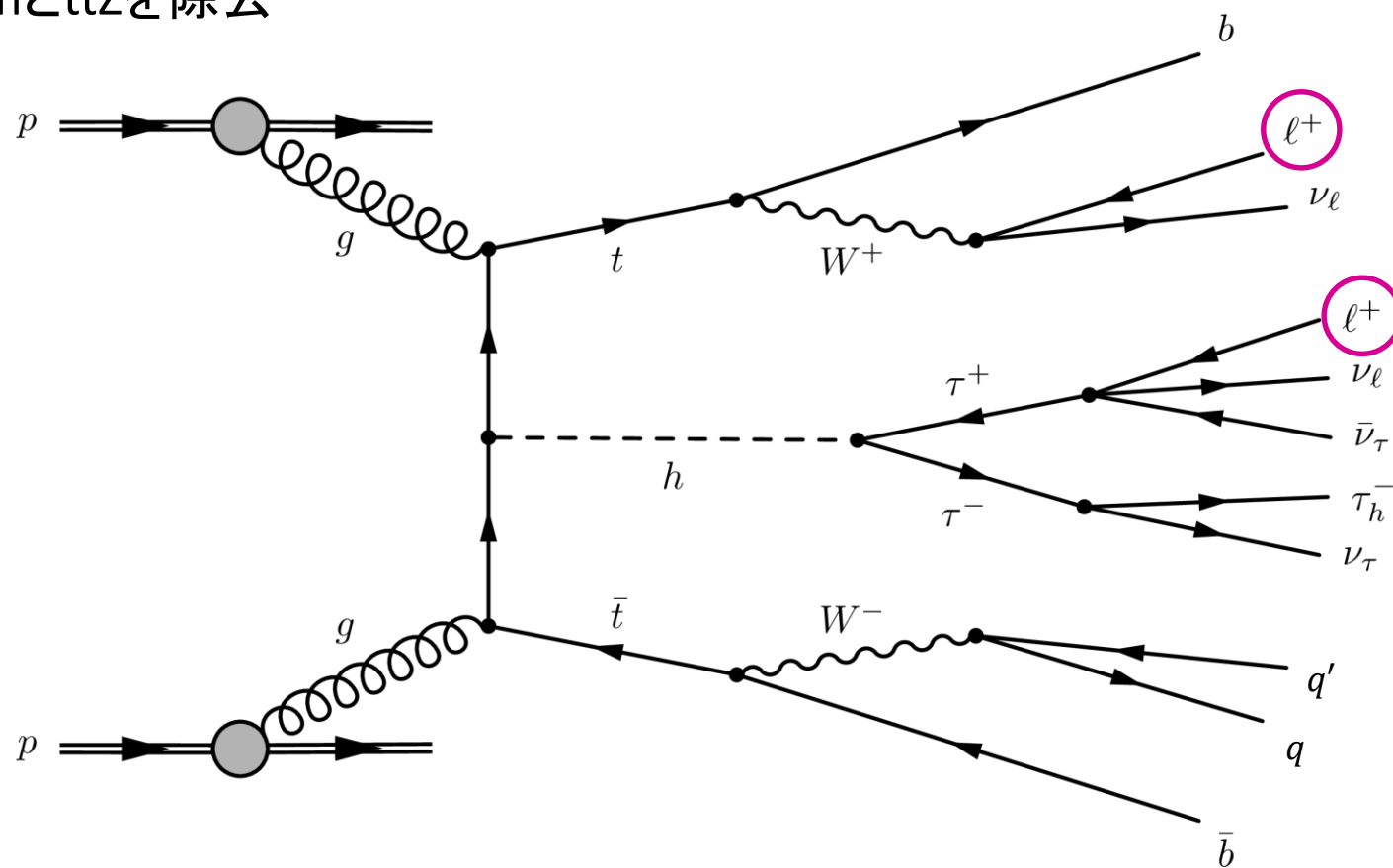
# ttH, multi-lepton

- targetは  $h \rightarrow WW, ZZ, \tau\tau$
- 感度が高いのは
  - 2 same sign leptons:  $\geq 4$  jets,  $\geq 1$  b-tag
  - 2 same sign leptons + 1  $\tau_{\text{had}}$ :  $\geq 3$  jets,  $\geq 1$  b-tag
- same signを要求することでDrell-YanとttZを除去

2 same sign leptons



2 same sign leptons + 1  $\tau_{\text{had}}$

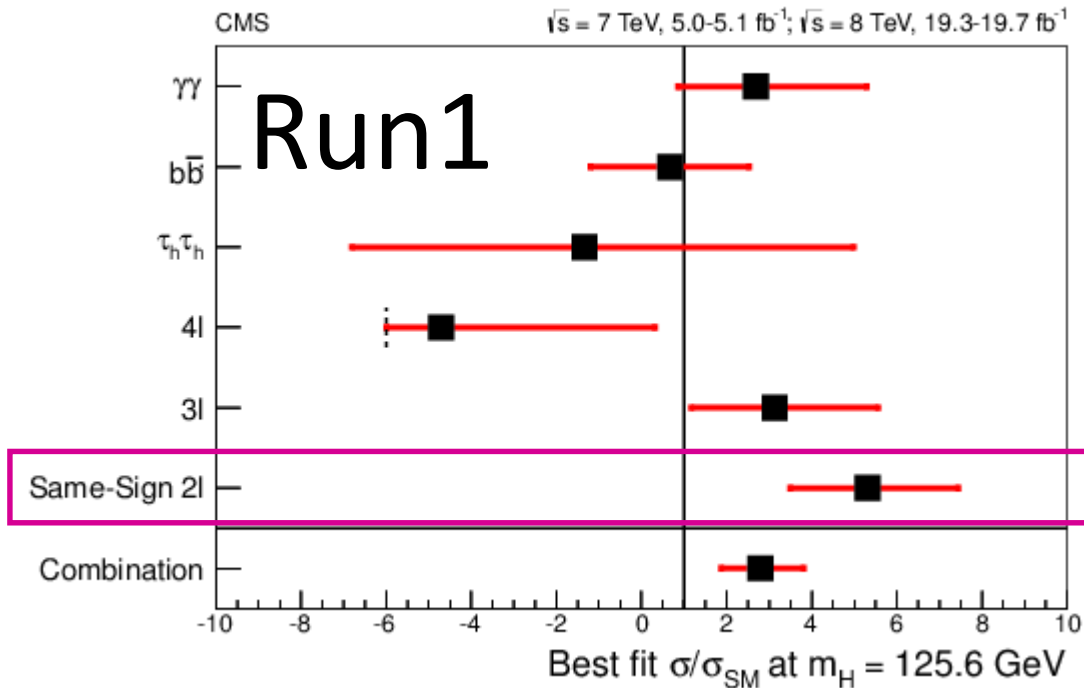


# ttH, multi-lepton

2 same sign leptons

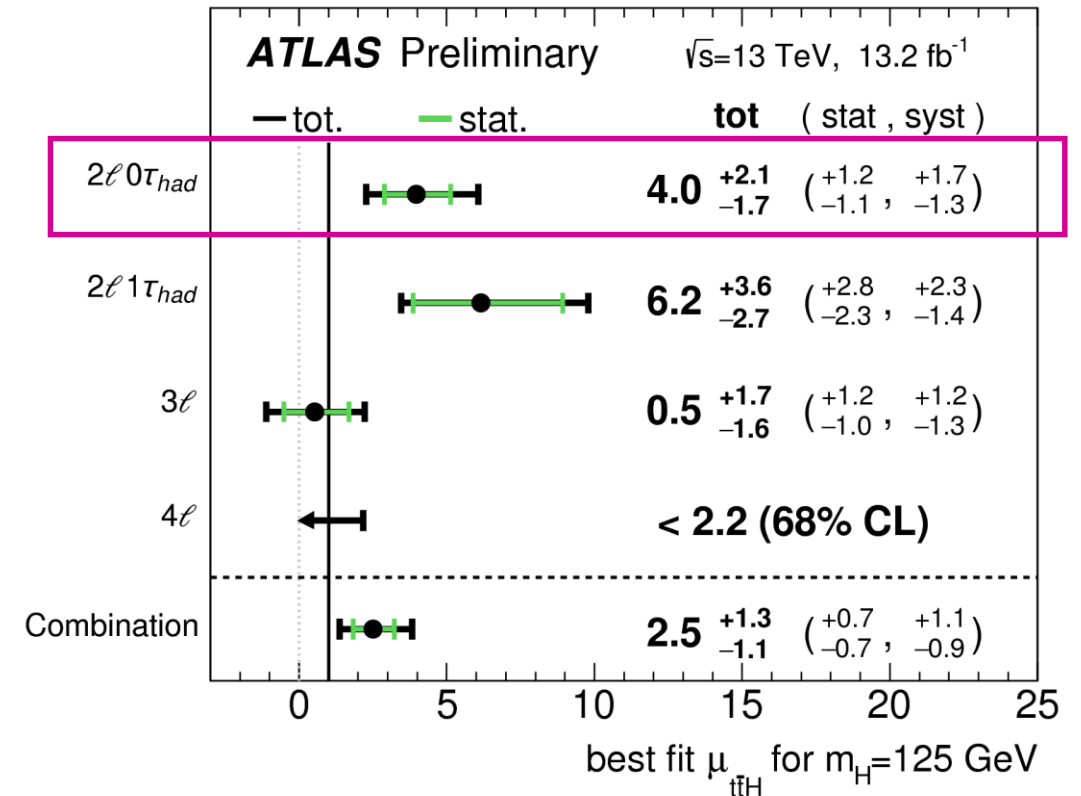
- Run1では大きなsignal strengthが
- ATLASでも大きい

arXiv:1408.1682



ATLAS ICHEP2016

[ATLAS-CONF-2016-058](#)

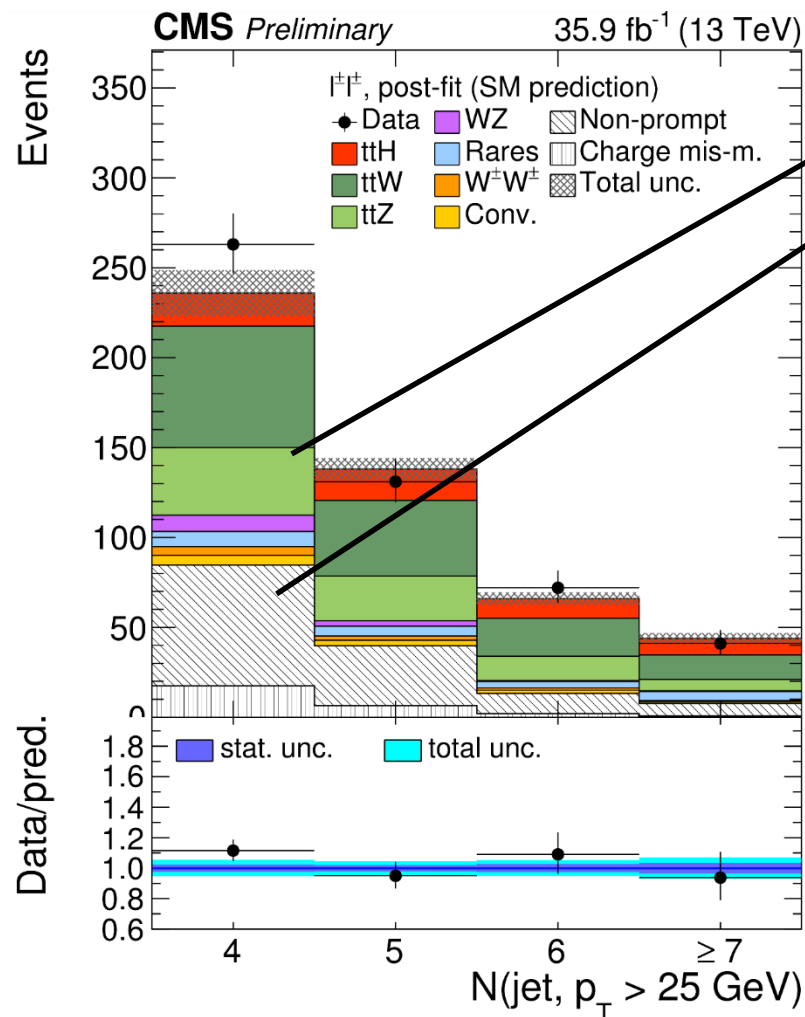


# ttH, multi-lepton

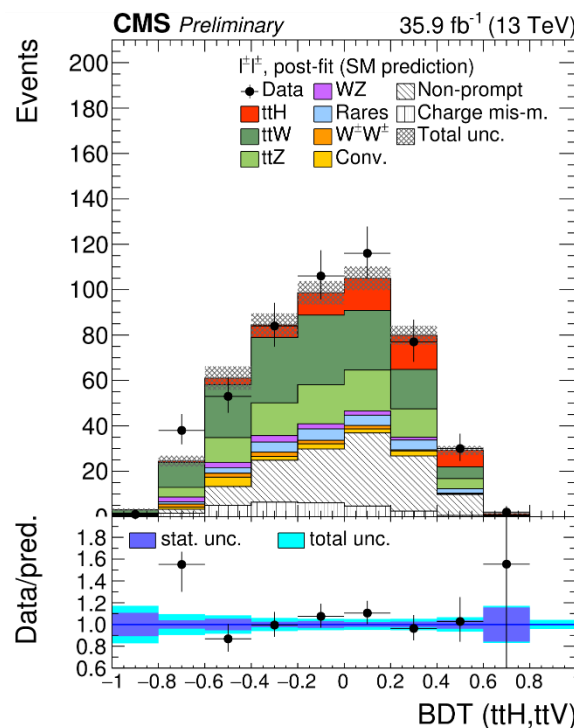
2 same sign leptons

- main BG

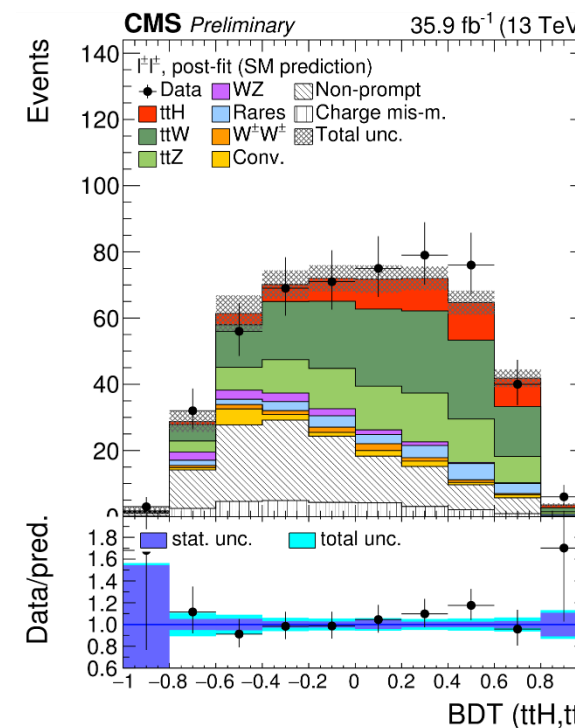
- $tt + W/Z/\gamma^*$ : irreducible, MCから見積もり
- $tt + jets$ : jetがleptonにfake, reducible, data-drivenで見積もり  
効率の良いBG除去のため、2種のBDTを使用
- top tagging等をinput



$tt + W/Z/\gamma^*$ 用BDT



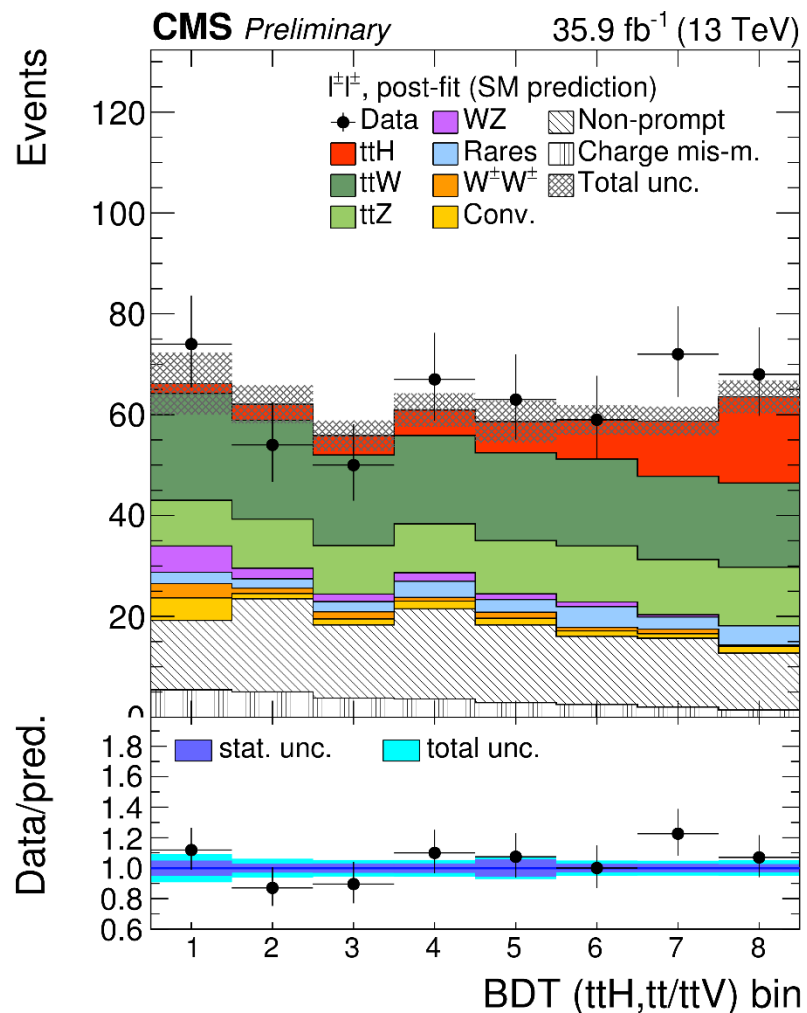
$tt + jets$ 用BDT



# ttH, multi-lepton

## 2 same sign leptons

- 2D BDTを1Dに変換: final discriminant



hadronic tauを含まない終状態の結果

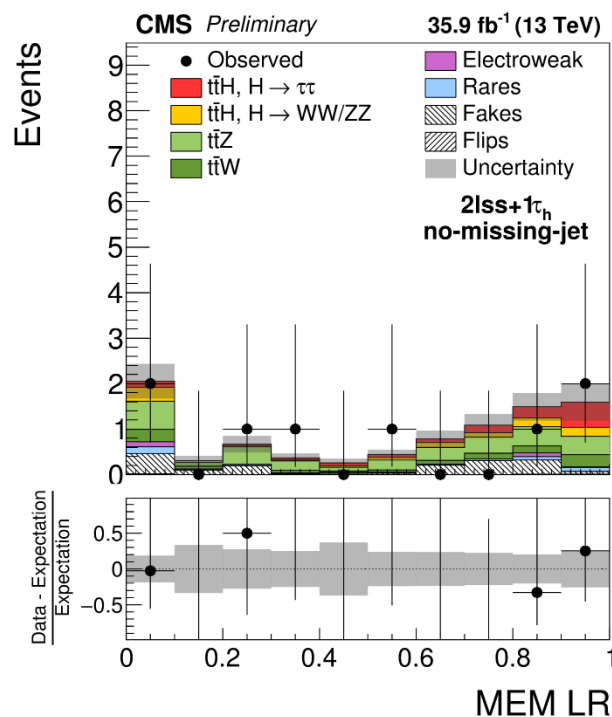
- discovery significance: 3.3 $\sigma$  (2.4 $\sigma$ ) obs. (exp.)
- signal strength

	obs.	exp.
2 same sign leptons	1.7 <sup>+0.6</sup> <sub>-0.5</sub>	1.0 <sup>+0.5</sup> <sub>-0.5</sub>
3 leptons	1.0 <sup>+0.8</sup> <sub>-0.7</sub>	1.0 <sup>+0.8</sup> <sub>-0.7</sub>
4 leptons	0.9 <sup>+2.3</sup> <sub>-1.6</sub>	1.0 <sup>+2.4</sup> <sub>-1.6</sub>
combined	1.5 <sup>+0.5</sup> <sub>-0.5</sub>	1.0 <sup>+0.5</sup> <sub>-0.4</sub>

# ttH, multi-lepton

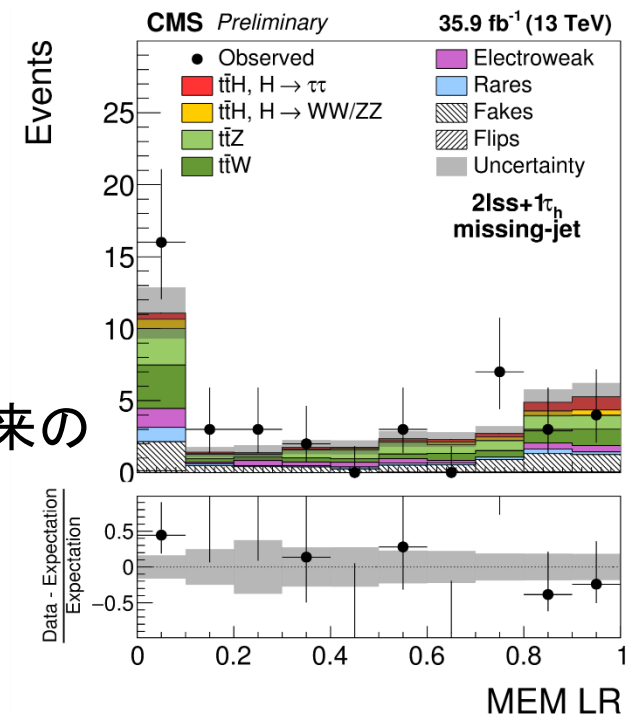
2 same sign leptons + 1  $\tau_{had}$

- main BG
  - $tt + W/Z/\gamma^*$ : irreducible, MCから見積もり
  - $tt + jets$ : jetが $\tau_{had}$ にfake, reducible, data-drivenで見積もり (fake factor)
- matrix element method (MEM) でttVを分離
- MEMでlikelihood ratio (LR) を計算: final discriminant



no-missing-jet:  $\nu$ 以外の全終状態粒子が再構成

missing-jet: W由来のjetがmissing

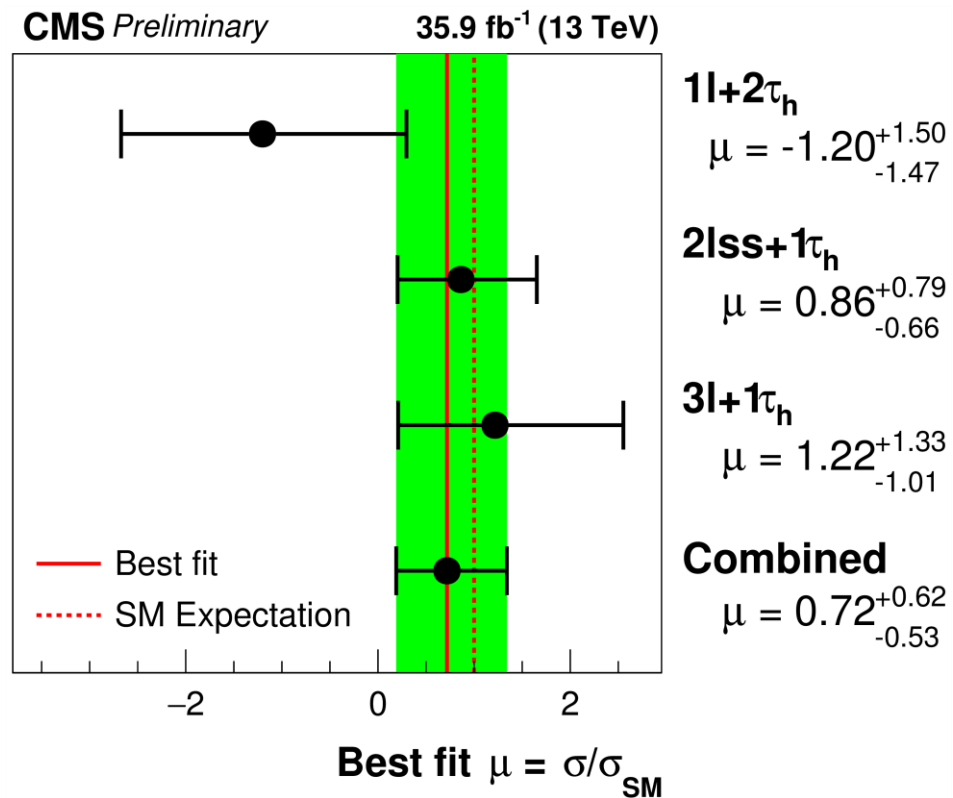


# ttH, multi-lepton

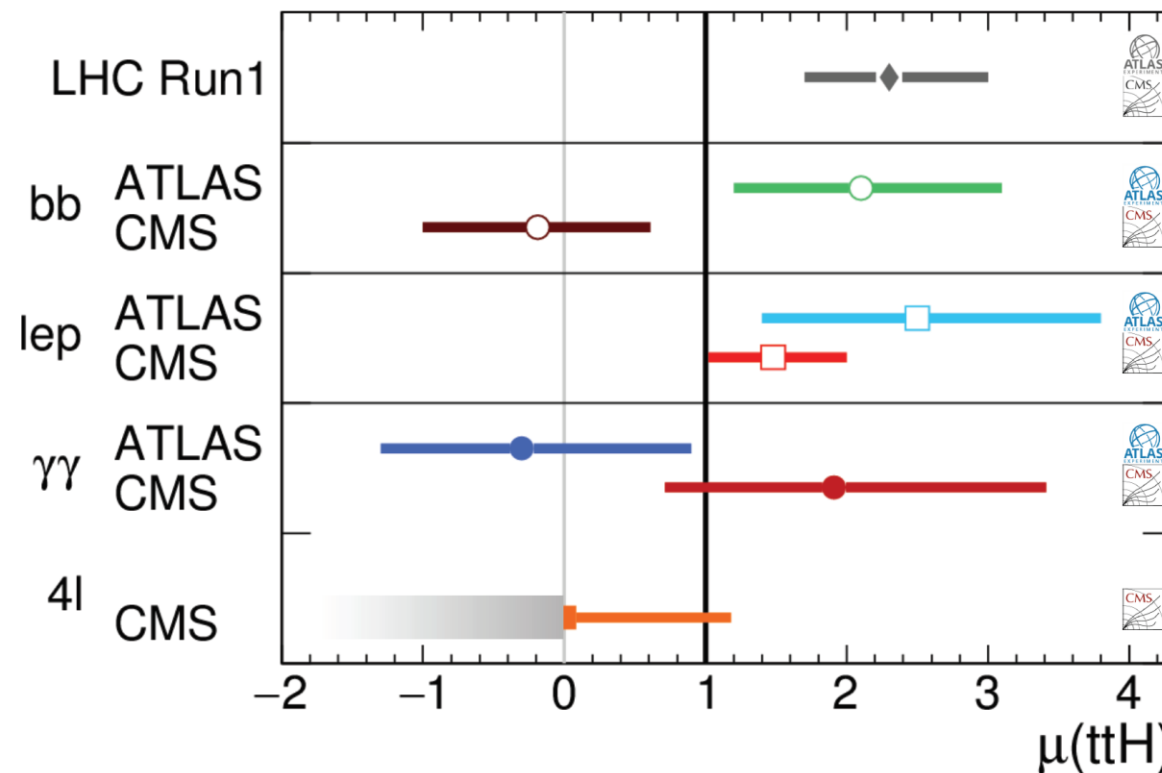
hadronic tauを含む終状態の結果

- discovery significance: 1.4  $\sigma$  (1.8  $\sigma$ ) obs. (exp.)

- signal strength



- ttH summary

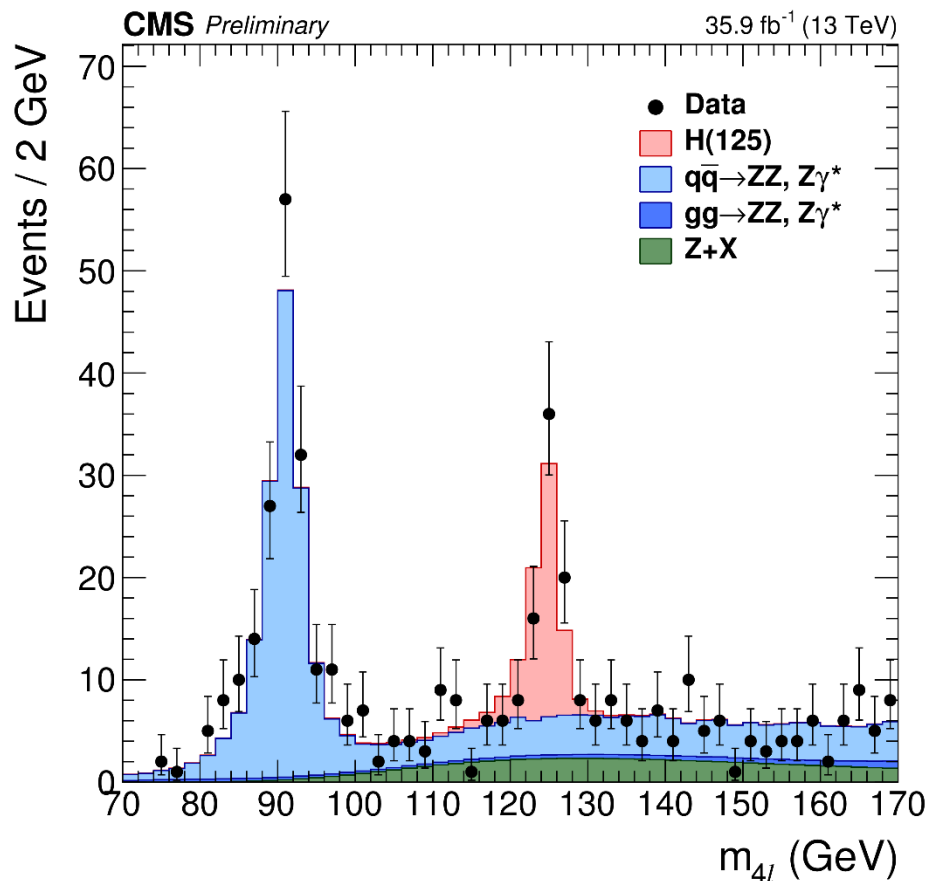


Run1で見られたexcessは今回の結果では見られなかった

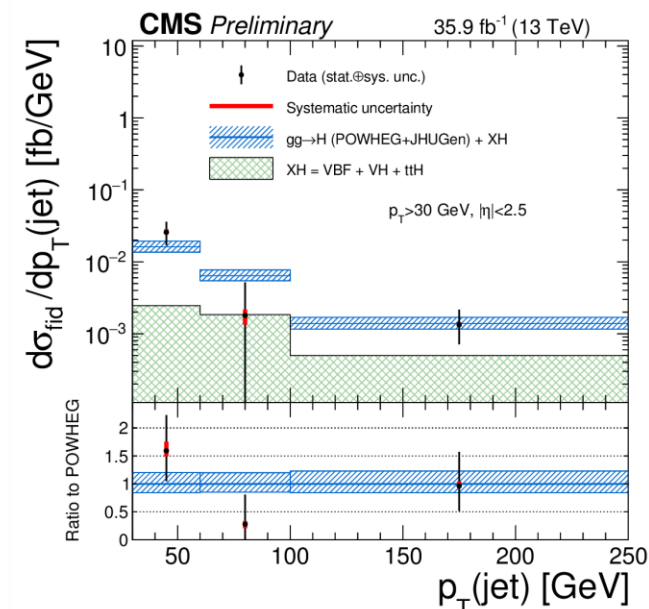
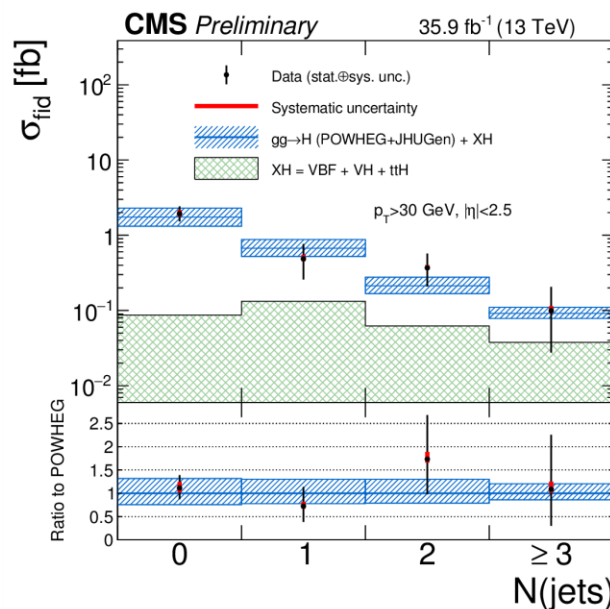
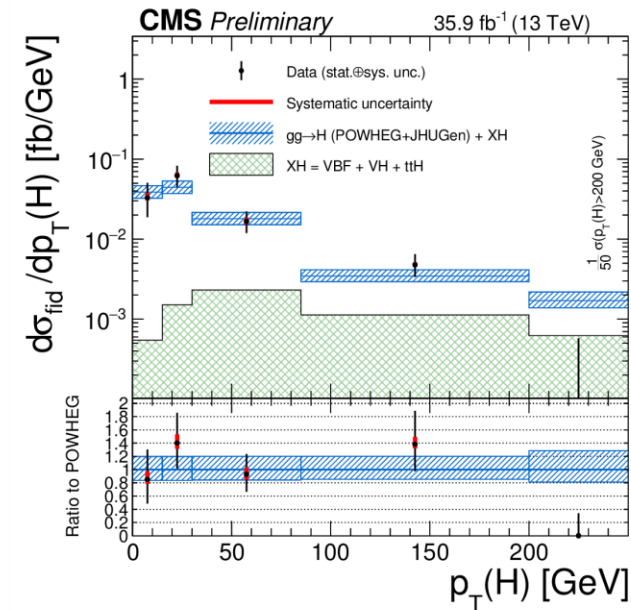
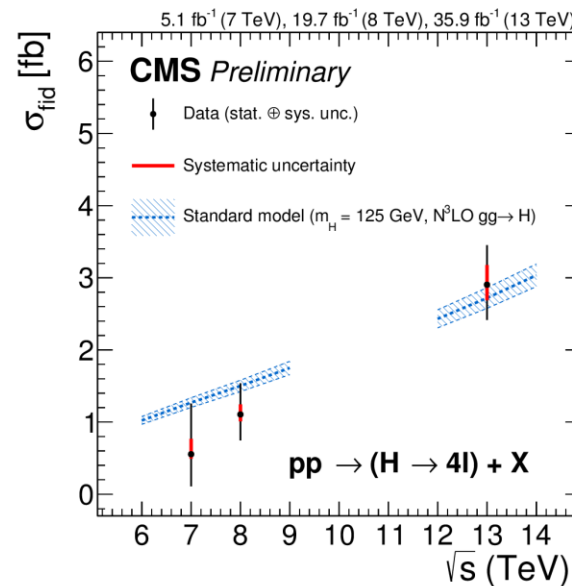
# $h \rightarrow ZZ \rightarrow 4\ell$

## differential cross section

クリーンなHiggs signal sampleを使って性質測定

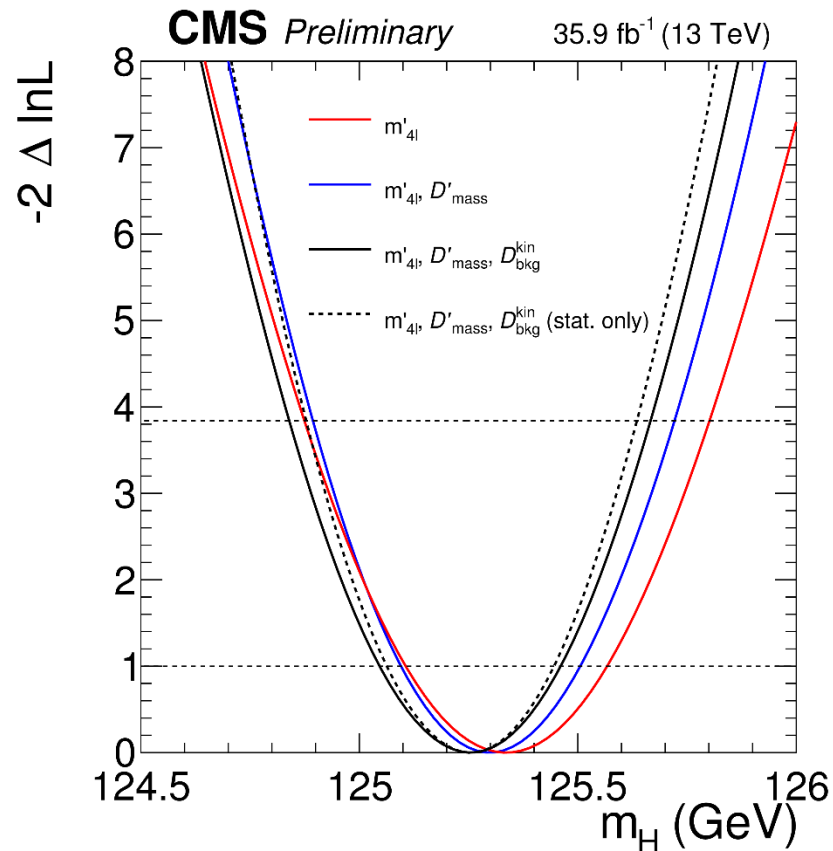


$$\mu = 1.05^{+0.15}_{-0.14} \text{ (stat.) } ^{+0.11}_{-0.09} \text{ (syst.)}$$

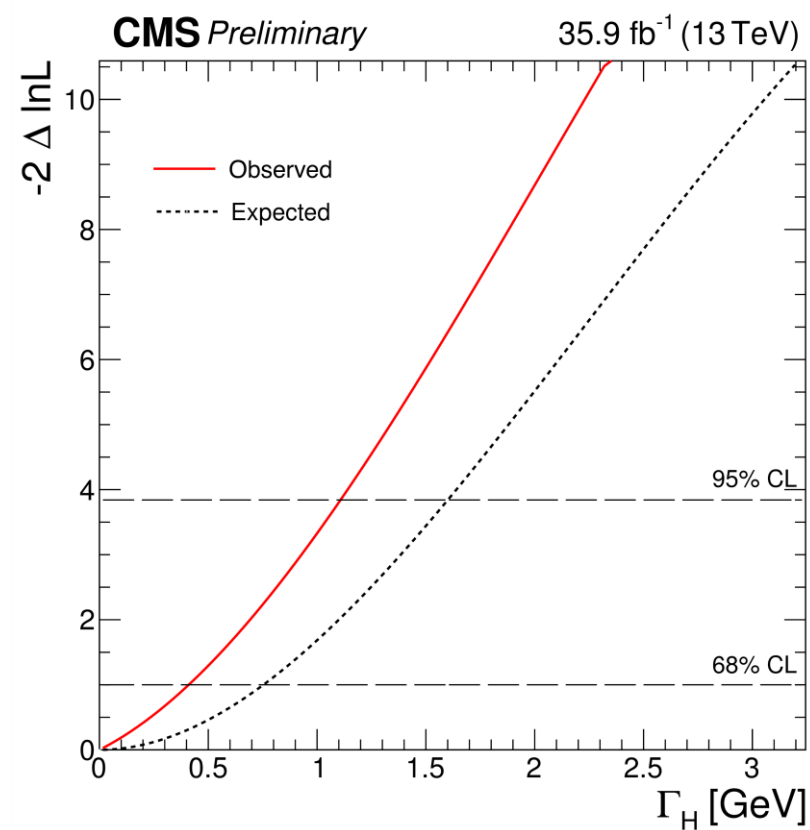


# $h \rightarrow ZZ \rightarrow 4\ell$

mass測定



width測定



- event-by-eventのmass uncertainty
- matrix elementから計算された、signalらしさを考慮することで、精度を11%向上

$$m_H = 125.26 \pm 0.20 \text{ (stat.)} \pm 0.08 \text{ GeV}$$

- Higgs peakで直接測定
- model independent

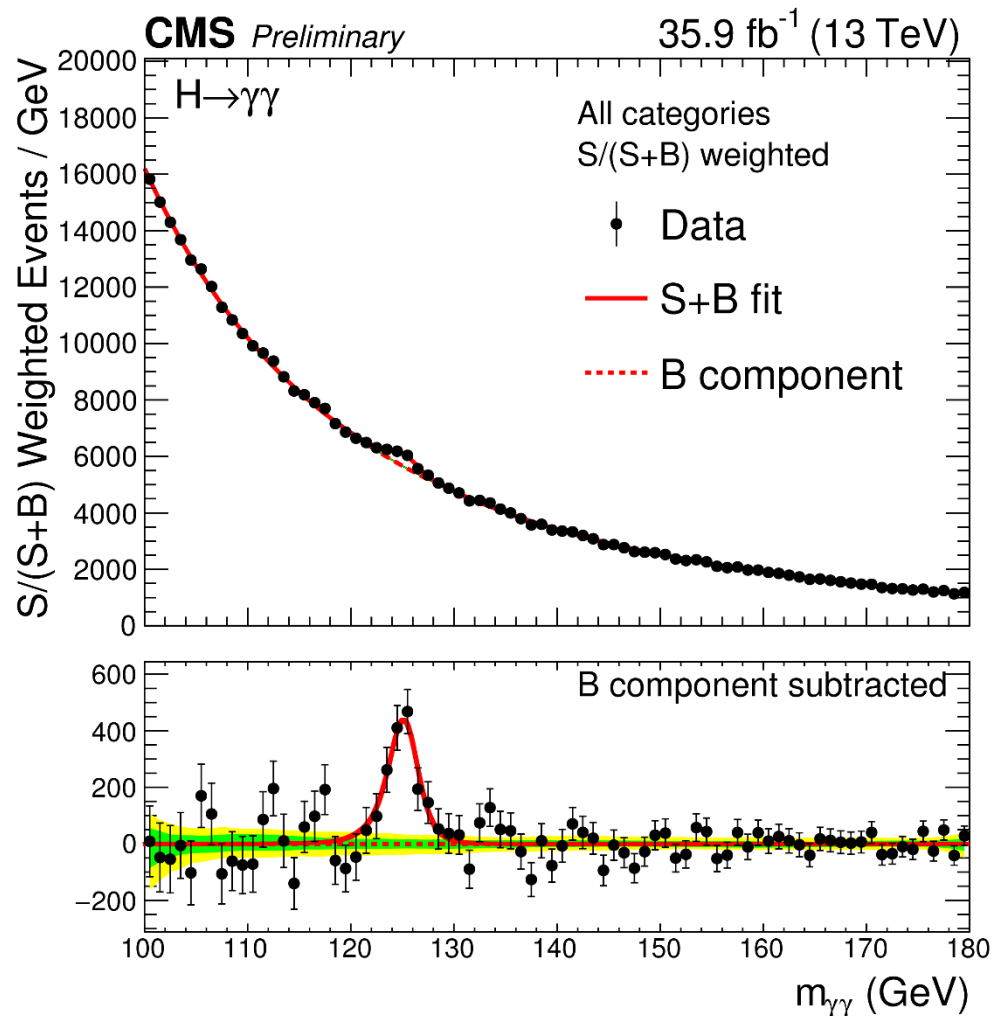
$$\Gamma_H = 0.00^{+0.41}_{-0.00} \text{ GeV}$$

$h \rightarrow \gamma\gamma$

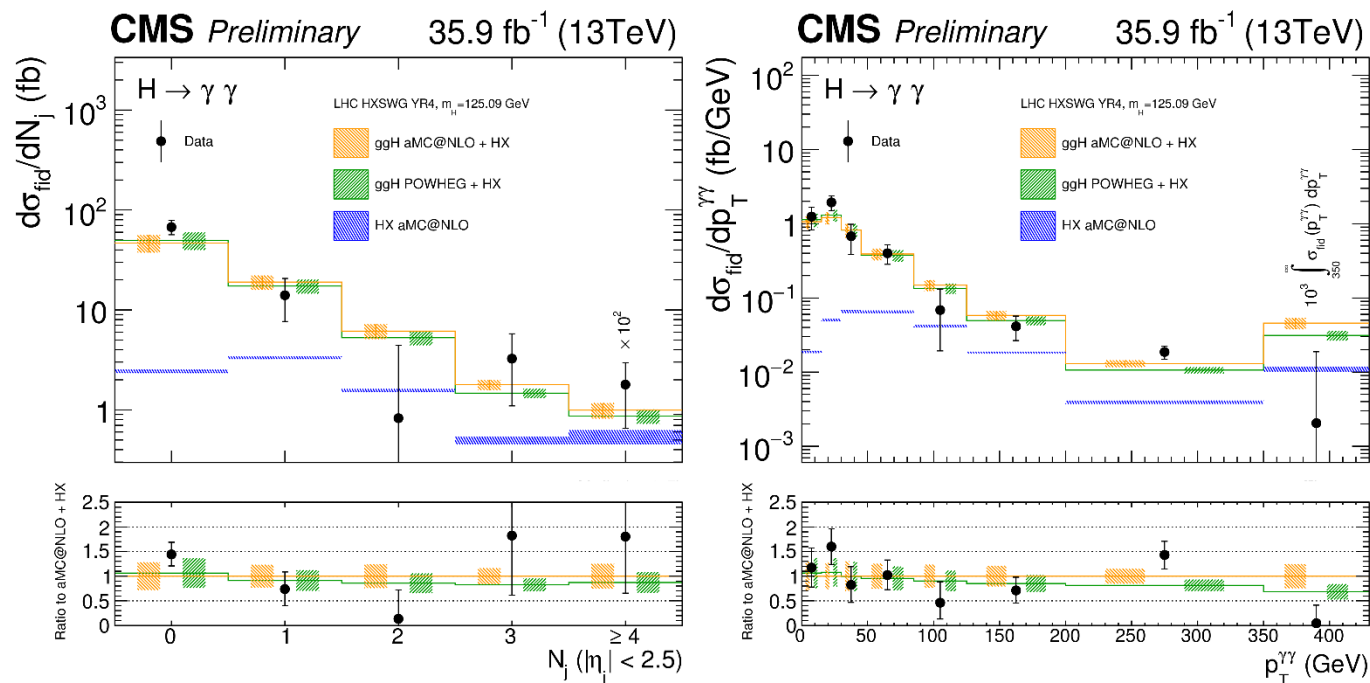
fiducial cross section

$$\sigma_{\text{fiducial}} = 84 \pm 11 \text{ (stat.)} \pm 7 \text{ (syst.) fb}$$

$$\sigma_{\text{fiducial}}^{\text{theory}} = 75 \pm 4 \text{ fb}$$



differential cross section

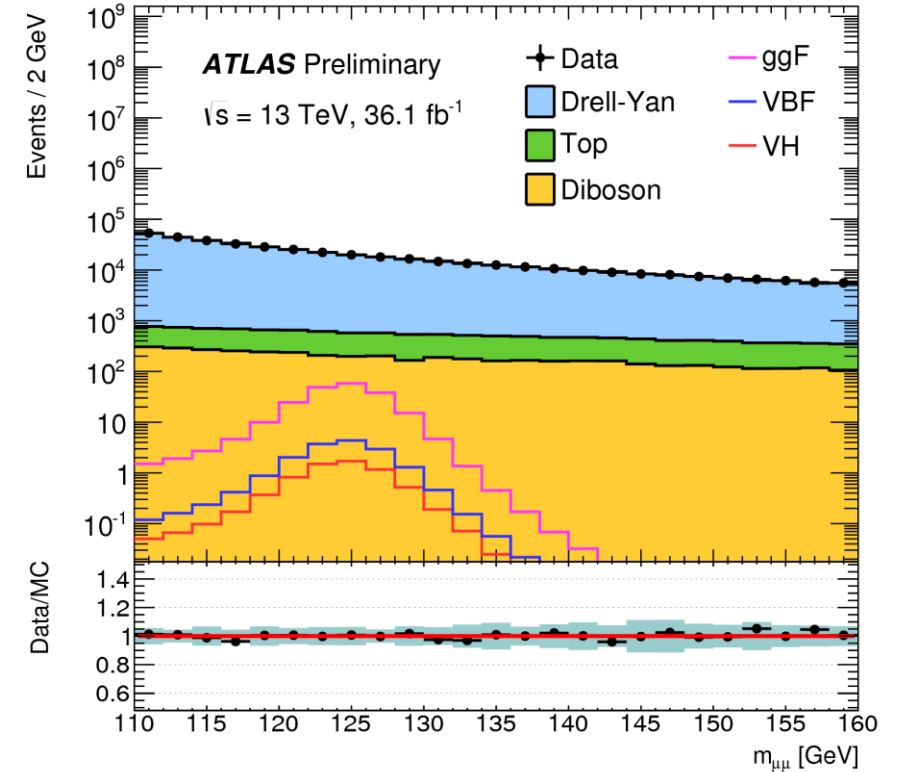
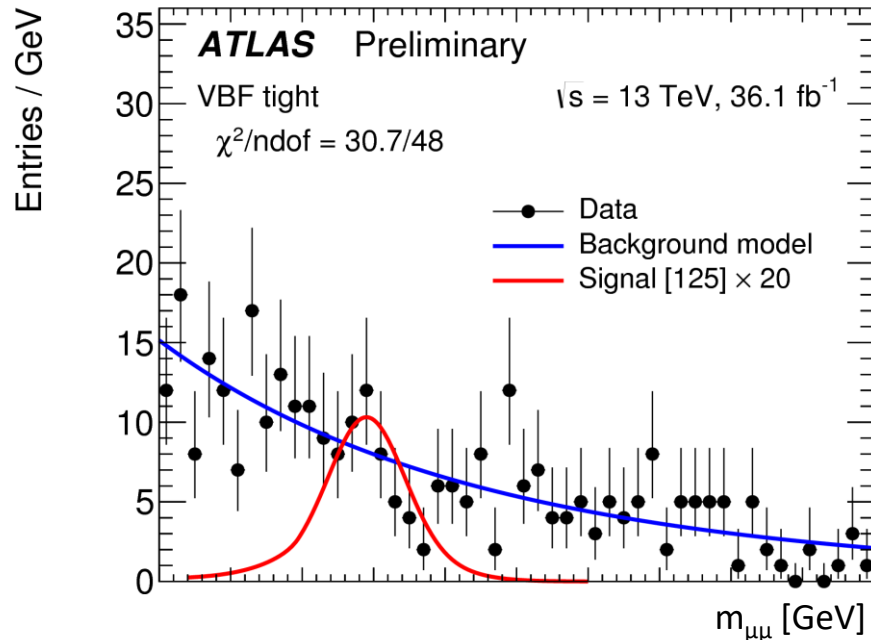


NLOとよく一致

# $h \rightarrow \mu\mu$

- muonとの湯川結合探索
- $BR \sim 2.18 \times 10^{-4}$
- $m_{\mu\mu}$  を使って多量のDrell-Yan BG上にHiggs peakを探す
  - mass resolution < 2 GeV
- ggFとVBFをtargetに
  - ggF: Higgs  $p_T$  でカテゴリー分け
  - VBF: BDTでカテゴリー分け

## VBF categoryは感度高



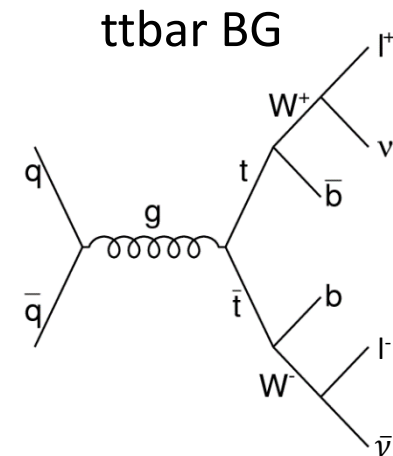
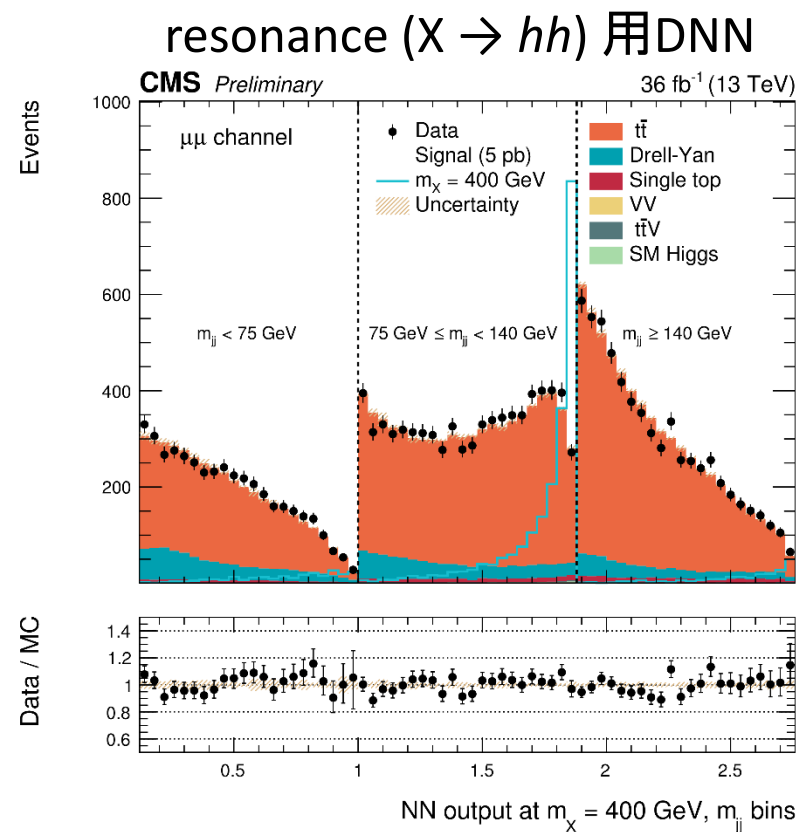
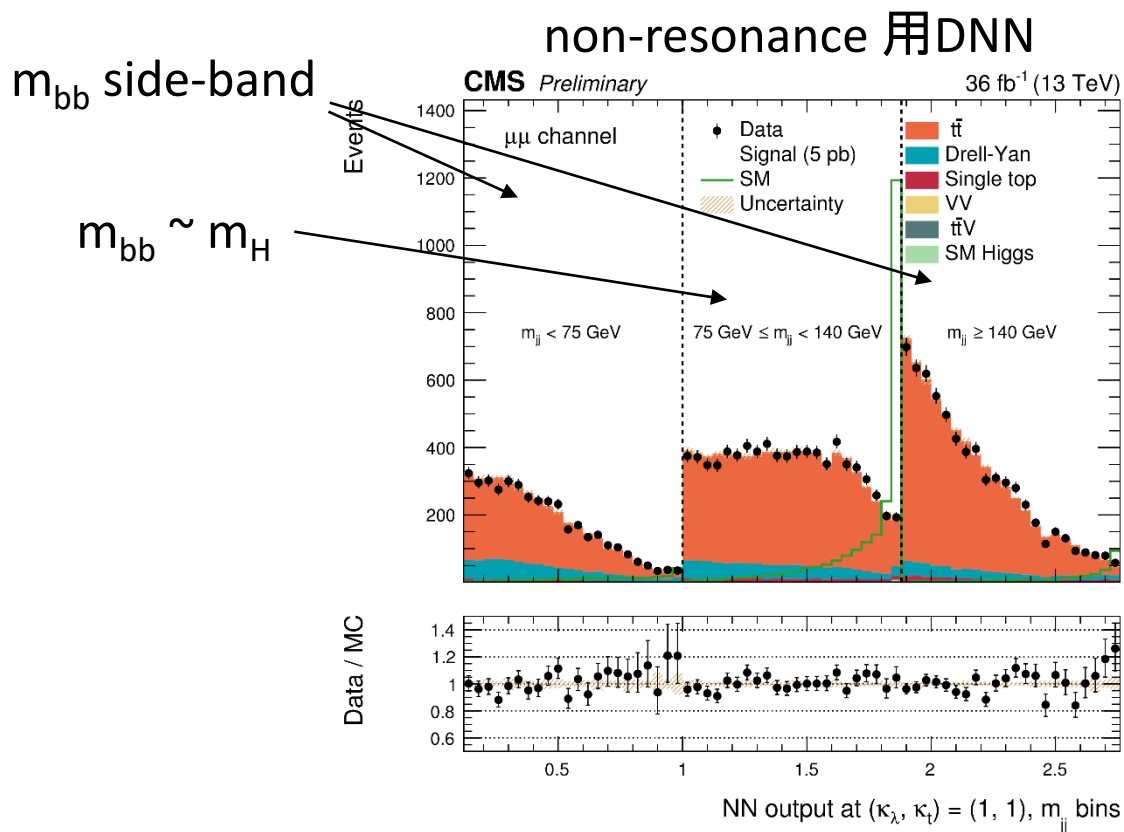
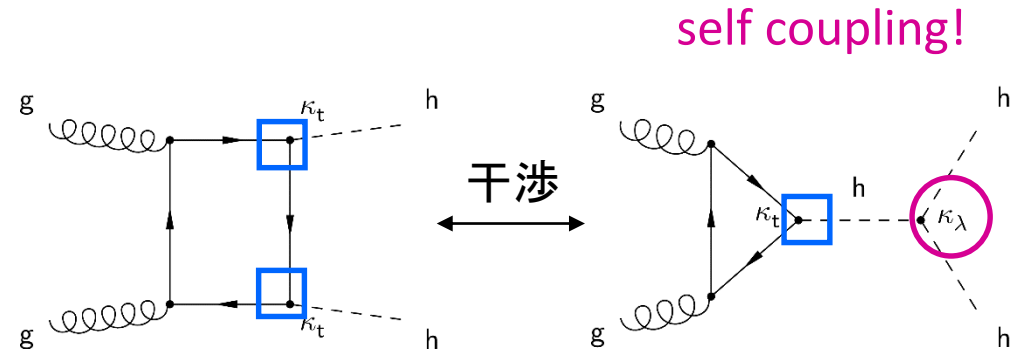
95 % upper limit

signal strength

	obs.	exp.	
Run2	3.0	3.1	$-0.1 \pm 1.5$
Run1+2 comb.	2.8	2.9	$-0.1 \pm 1.4$

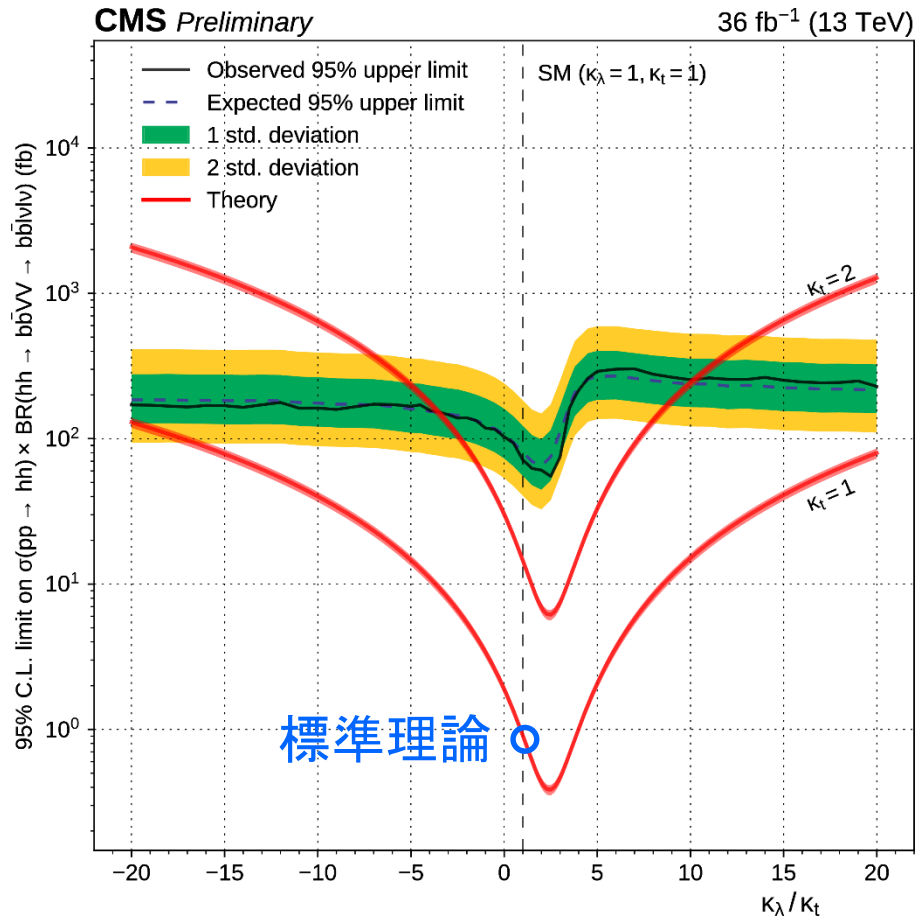
# $hh \rightarrow bb\ell\nu\ell\nu$

- 標準理論でのdi-higgs cross section:  $\sigma_{\text{NNLO}}^{hh} = 33 \text{ fb}$ 
  - 今の統計ではBSM search
- $bb\ell\nu\ell\nu$  channel: シグナル数大, 多量のttbar BG...
  - どう落とす? → **Deep Neural Network (DNN)**



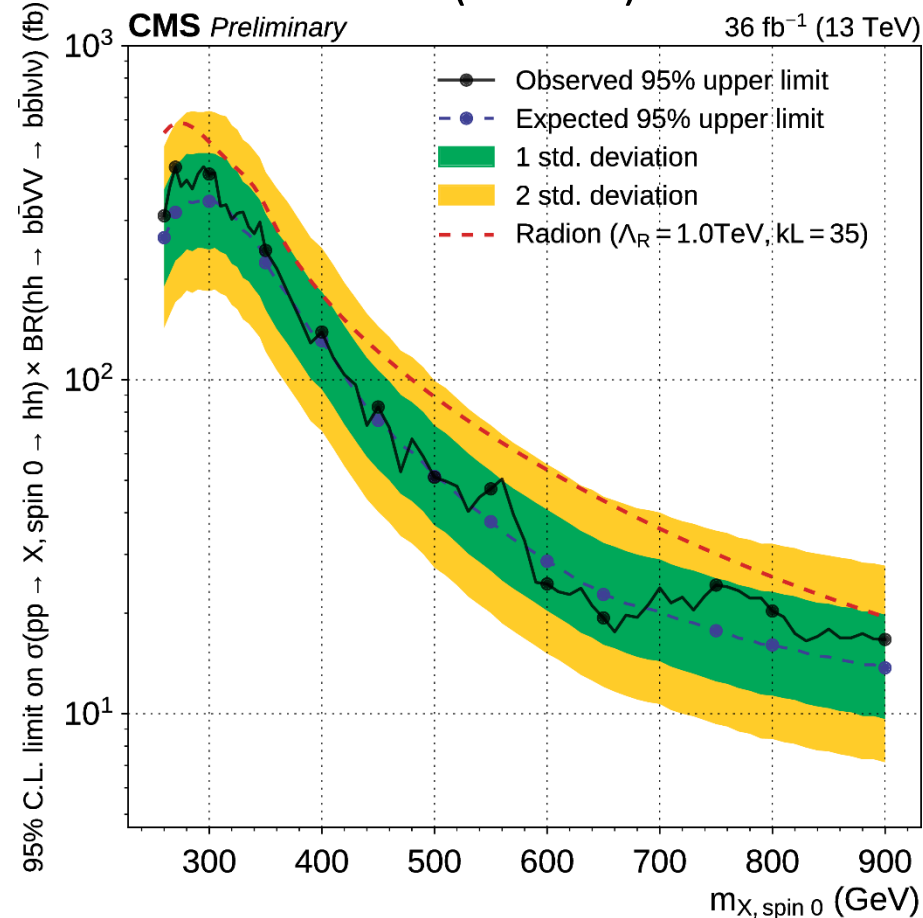
# $hh \rightarrow bb\ell\nu\ell\nu$

## non-resonant search



標準理論に対して  $\sigma_{hh}/\sigma_{SM} < 79$  (89) obs. (exp.)

## resonant ( $X \rightarrow hh$ ) search



no excess

# $hh \rightarrow bb\tau\tau$

- $bb\ell\nu\ell\nu$ に比べてシグナル少、クリーン
- BDT cut  $\rightarrow$  ttbar除去
- $m_{\tau\tau}, m_{bb}$  cut
- **non-resonant search**

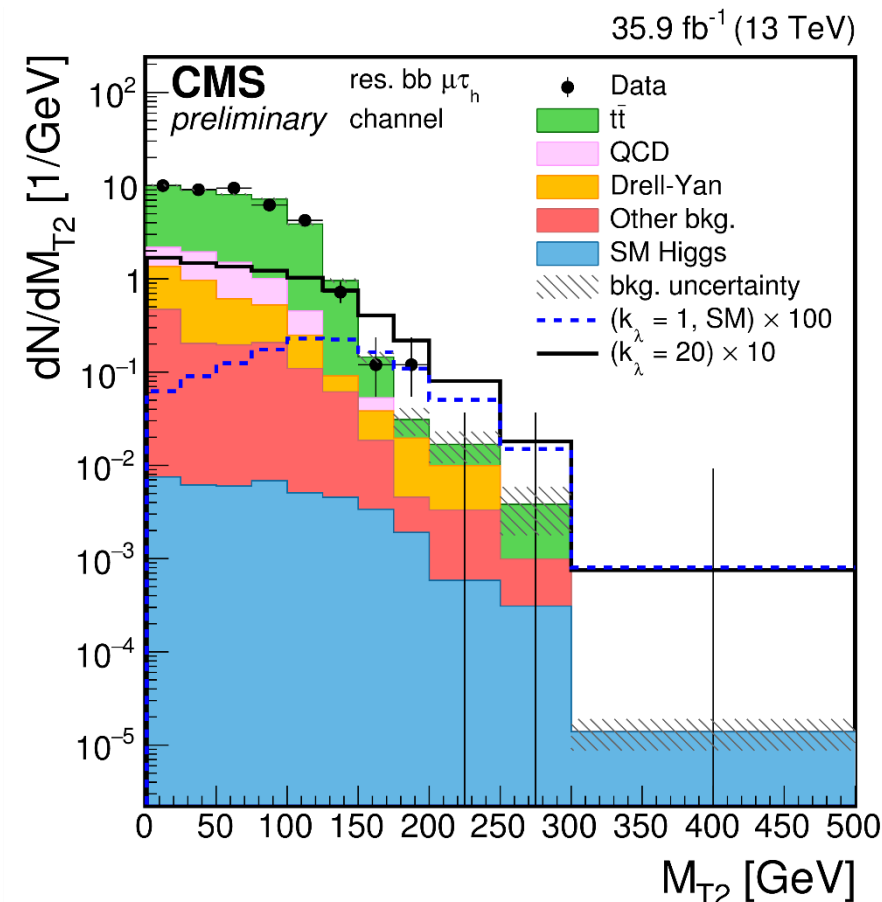
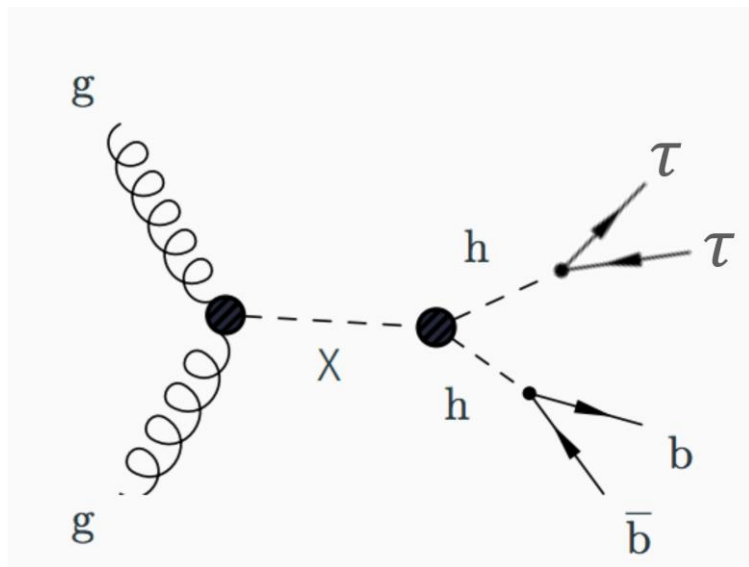
• transverse mass:  $M_{T2} = \min_{p_T^\tau + p_T^{\tau'} = p_T^\Sigma} \{ \max(m_T, m'_T) \}$

$p_T^\tau$ : neutrinoを考慮した $\tau$  momentum

$m_T$ :  $\tau$ と $b$ で組んだtransverse mass

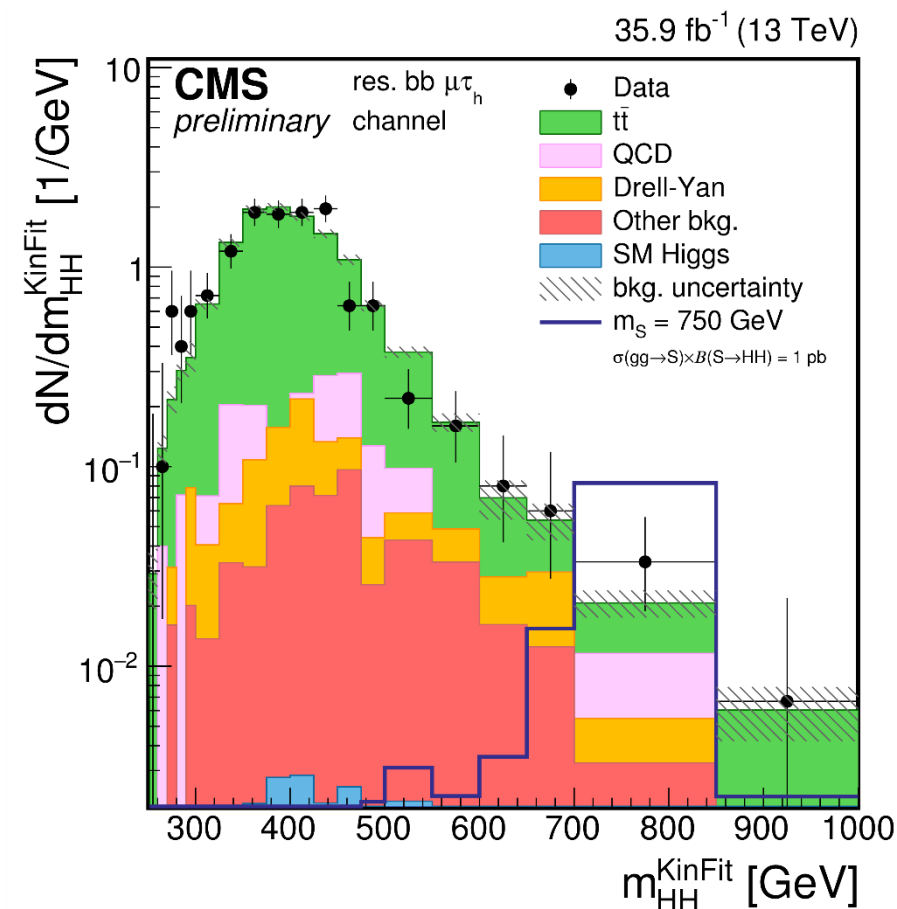
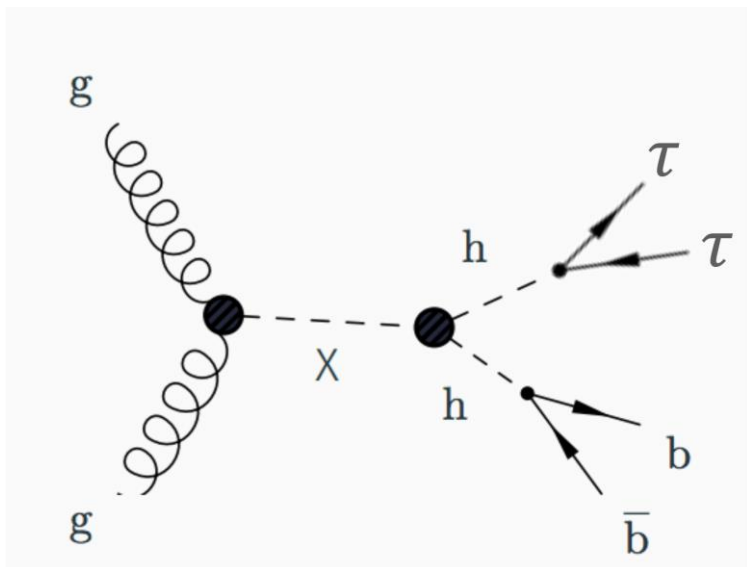
$p_T^\Sigma = \text{MET} + p_T^{\text{vis}}(\tau) + p_T^{\text{vis}}(\tau')$

$p_T^\tau + p_T^{\tau'} = p_T^\Sigma$  のconstraintで $\tau$  momentumを振って最少を探す



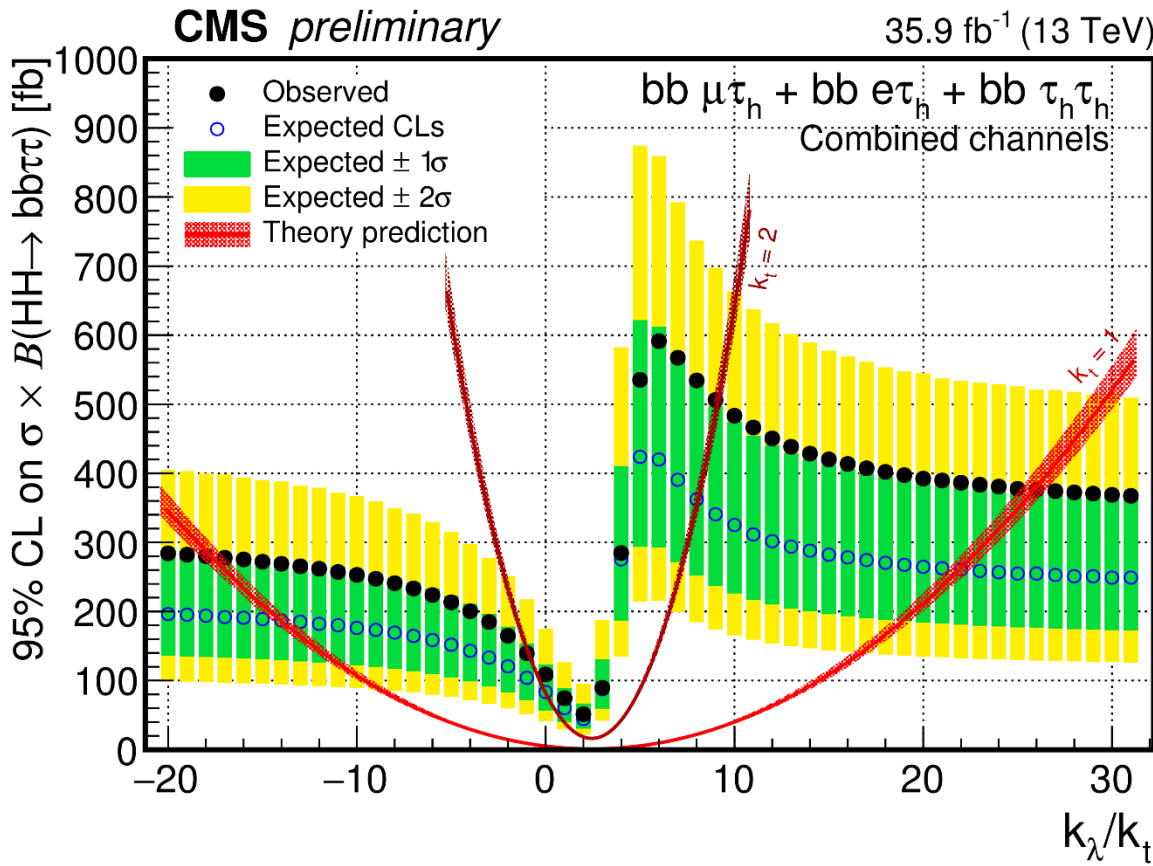
# $hh \rightarrow bb\tau\tau$

- $bb\ell\nu\ell\nu$ に比べてシグナル少、クリーン → **ゴールデンチャンネル!**
- BDT cut →  $t\bar{t}$ 除去
- $m_{\tau\tau}, m_{bb}$  cut
- resonant search
  - $m_{hh}^{\text{KinFit}}$ : kinematic fitでresolutionを向上させた $m_{hh}$



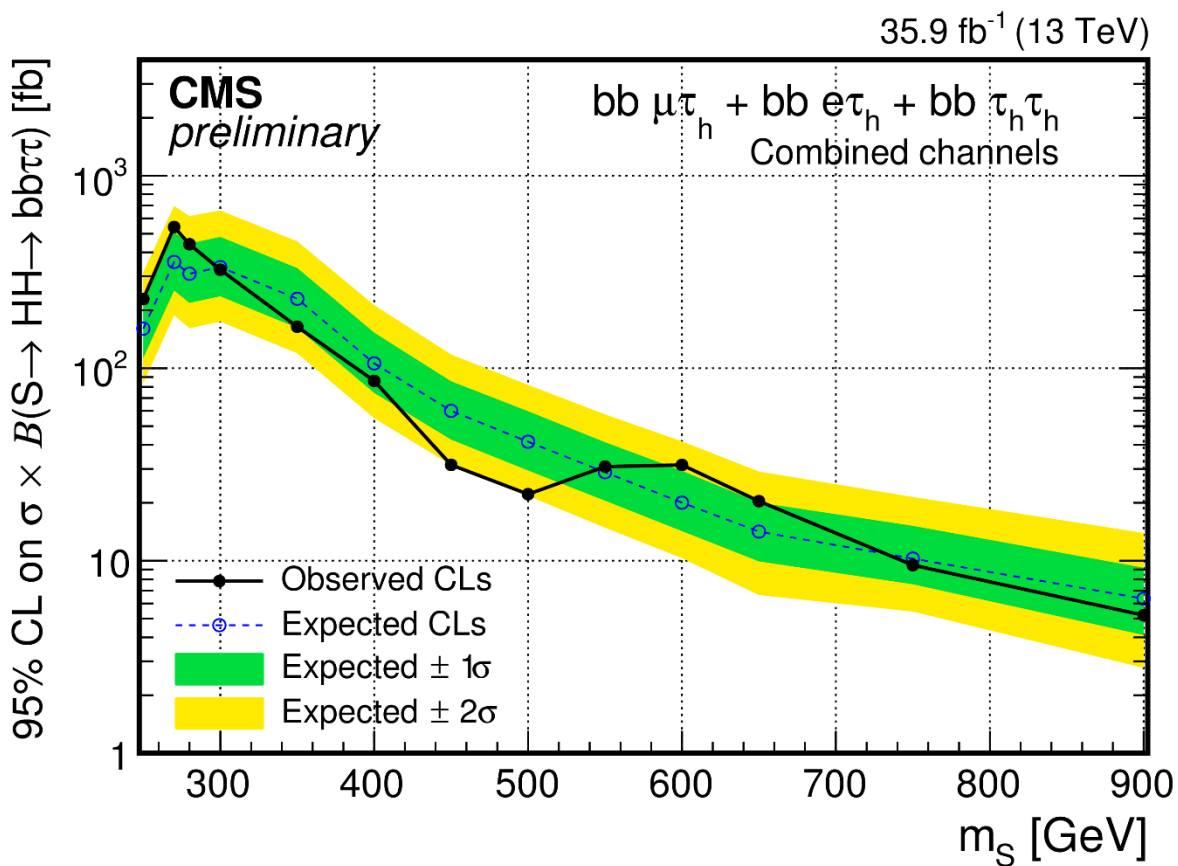
# $hh \rightarrow bb\tau\tau$

non-resonant search



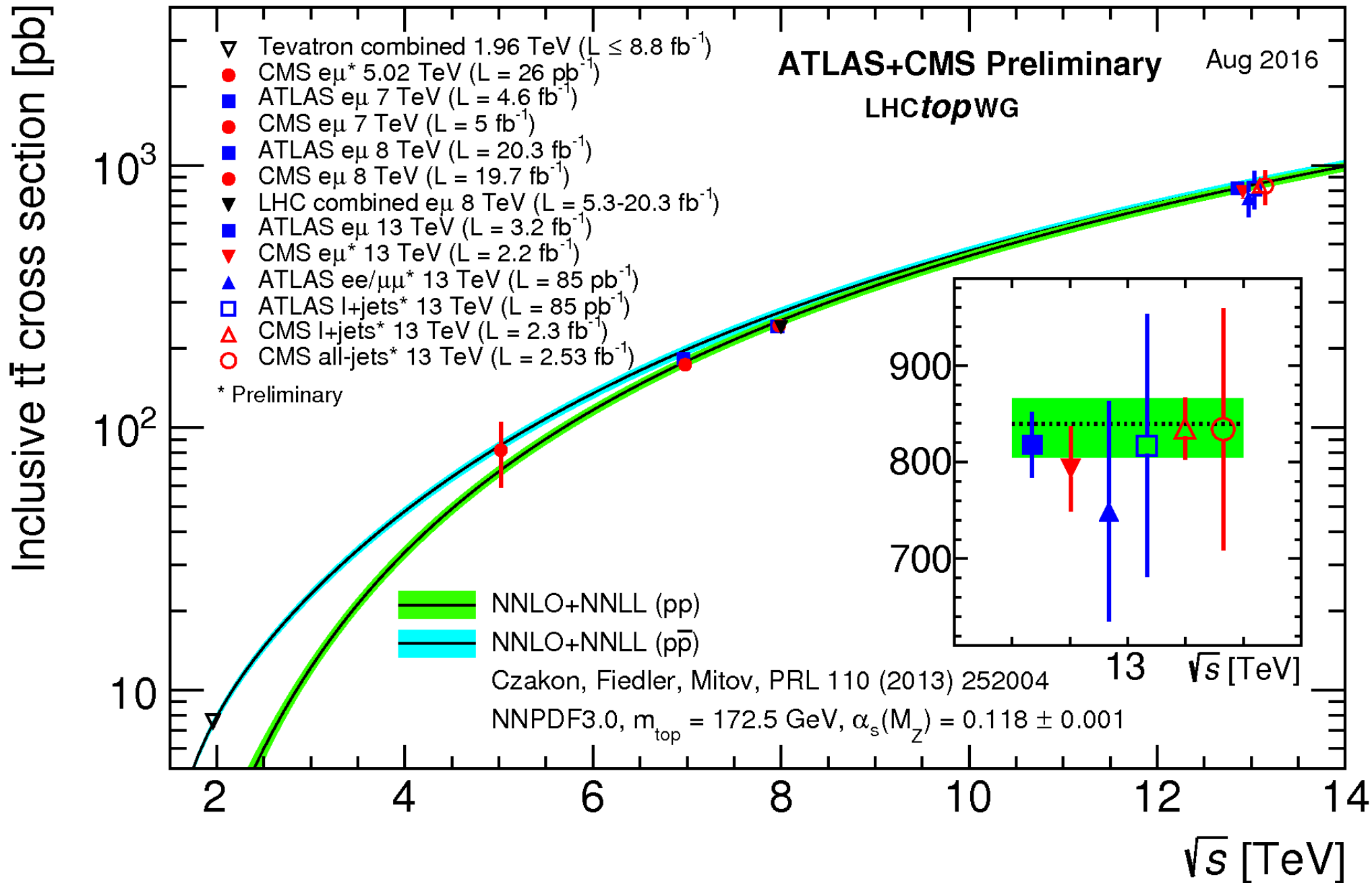
標準理論に対して  $\sigma_{hh}/\sigma_{SM} < 28$  (25) obs. (exp.)

resonant (X  $\rightarrow hh$ ) search



no excess

backup



Run1 LHC comb.	2.3 <sup>+1.2</sup> <sub>-1.0</sub>	
	ATLAS Run2	CMS Run2
bb	2.1 <sup>+1.0</sup> <sub>-0.9</sub>	-0.2 <sup>+0.8</sup> <sub>-0.8</sub>
multi-lepton	2.5 <sup>+1.3</sup> <sub>-1.1</sub>	1.5 <sup>+0.5</sup> <sub>-0.5</sub>
$\tau\tau$	-	0.7 <sup>+0.6</sup> <sub>-0.5</sub>
$\gamma\gamma$	-0.3 <sup>+1.2</sup> <sub>-1.0</sub>	1.9 <sup>+1.5</sup> <sub>-1.2</sub>
4 $\ell$	-	0.0 <sup>+1.2</sup> <sub>-0.0</sub>
comb.	1.8 <sup>+1.2</sup> <sub>-1.0</sub>	-